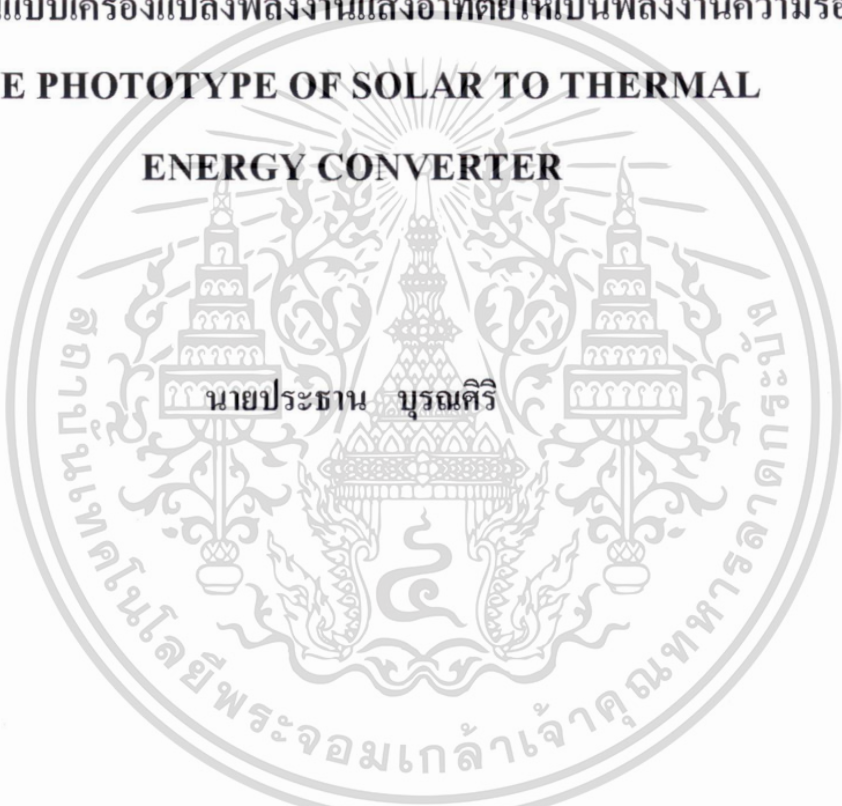




รายงานการวิจัยฉบับสมบูรณ์

การสร้างต้นแบบเครื่องแปลงพลังงานแสงอาทิตย์ให้เป็นพลังงานความร้อน

THE PHOTOTYPE OF SOLAR TO THERMAL ENERGY CONVERTER



นายประธาน บุรณศิริ

ได้รับทุนสนับสนุนงานวิจัยจากเงินรายได้ประเภทส่งเสริมนักวิจัย ประจำปีงบประมาณ 2551

คณะวิทยาศาสตร์

สถาบันเทคโนโลยีพระจอมเกล้าเจ้าคุณทหารลาดกระบัง

RCH  
OC  
911.82  
ป.ท5  
ป.287ก

เลขหมู่.....

เลขทะเบียน 131057

วัน,เดือน,ปี 2.1.11ค.2557

b. 12596887  
i.....

ชื่อโครงการ (ภาษาไทย) การสร้างต้นแบบเครื่องแปลงพลังงานแสงอาทิตย์ให้เป็นพลังงานความร้อน  
แหล่งเงินทุน จากเงินรายได้ ประเภทส่งเสริมนักวิจัย  
ประจำปีงบประมาณ 2551 จำนวนเงินที่ได้รับการสนับสนุน 50,000 บาท  
ระยะเวลาทำการวิจัย 1 ปี ตั้งแต่ ต.ค. 2550 ถึง ก.ย. 2551 ✓  
หัวหน้าโครงการ ดร. ประธาน บุรณศิริ สังกัดคณะวิทยาศาสตร์

### บทคัดย่อ

งานวิจัยนี้เป็นการศึกษาเครื่องรวมพลังงานความร้อนจากแสงอาทิตย์เป็นอุปกรณ์ต้นแบบเพื่อศึกษา ซึ่งจะเป็นองค์ความรู้ในการการออกแบบเครื่องแปลงพลังงานความร้อนเป็นพลังงานไฟฟ้า โดยการทดลองเก็บผลหาค่าความสัมพันธ์ของความเข้มแสงกับความร้อนเชิงอุณหภูมิจากการผลการเก็บค่าพารามิเตอร์พบว่าอุณหภูมิที่จุดโฟกัสมีความสัมพันธ์แบบแปรผันตรงกับความเข้มแสงอาทิตย์

ปัจจัยที่มีผลต่อการทดลองคืออุณหภูมิสิ่งแวดล้อมของระบบ และความเร็วลมที่ไหลผ่านจุดรวมร้อน ซึ่งปัจจัยทั้งสองมีผลทำให้จุดรวมความร้อนเกิดการสูญเสียความร้อน

คำสำคัญ: พลังงานความร้อน, พลังงานแสงอาทิตย์

เอกสารนี้เป็นเอกสารที่สงวนไว้สำหรับการใช้งานเพื่อการศึกษาเท่านั้น ไม่อนุญาตให้นำไปใช้ประโยชน์ด้านการค้า  
ไม่ว่ากรณีใดๆทั้งสิ้น อีกทั้งห้ามมิให้ตัดแปลงเนื้อหา และต้องอ้างอิงถึงเจ้าของเอกสารทุกครั้งที่มีการนำไปใช้

**Research Title:** THE PHOTOTYPE OF SOLAR TO THERMAL ENERGY CONVERTER

**Researcher:** Prathan Buranasiri

**Faculty:** Science **Department:** Applied Physics

### ABSTRACT

This research is a study of prototype system of solar to heat concentrator. For knowledge of solar heat to electricity convertor, using parameters collecting, temperature and solar intensity with time. The parameters show, solar focused point temperature is direct relate to solar intensity.

The factor on this research which effect to solar focused point temperature are system environment temperature and wind flow velocity. Both of them are increasing of loosed heat at focused point.

**Keyword:** Thermal energy, Solar energy

เอกสารนี้เป็นเอกสารที่สงวนไว้สำหรับการใช้งานเพื่อการศึกษาเท่านั้น ไม่อนุญาตให้นำไปใช้ประโยชน์ด้านการค้า  
ไม่ว่ากรณีใดๆทั้งสิ้น อีกทั้งห้ามมิให้ตัดแปลงเนื้อหา และต้องอ้างอิงถึงเจ้าของเอกสารทุกครั้งที่มีการนำไปใช้

## กิตติกรรมประกาศ

งานวิจัยนี้ลุล่วงได้ ก็เพราะได้รับการสนับสนุนและให้โอกาส สจากโครงการทุนวิจัยจาก จากเงินรายได้ประเภทส่งเสริมนักวิจัย สถาบันเทคโนโลยีพระจอมเกล้าลาดกระบัง ทางผู้วิจัยจึงขอขอบพระคุณหน่วยงานที่สนับสนุนทุนนี้มา ณ ที่นี้ขอขอบคุณภาควิชาฟิสิกส์ประยุกต์ที่ให้การสนับสนุนเครื่องมือและอุปกรณ์ในการทำวิจัย ขอขอบคุณโรงฝึกงานวิศวกรรมที่ให้การการสนับสนุนเครื่องมือช่างและสถานที่ ขอขอบพระคุณผู้ที่มีส่วนเกี่ยวข้องทุกท่านที่ช่วยเหลือให้คำแนะนำและติดตามดูแลการทำโครงการพิเศษนี้ให้ลุล่วงได้ดี ขอขอบพระคุณไว้ ณ ที่นี้

ประธาน บุรณศิริ



เอกสารนี้เป็นเอกสารที่สงวนไว้สำหรับการใช้งานเพื่อการศึกษาเท่านั้น ไม่อนุญาตให้นำไปใช้ประโยชน์ด้านการค้า ไม่ว่าจะกรณีใดๆทั้งสิ้น อีกทั้งห้ามมิให้ดัดแปลงเนื้อหา และต้องอ้างอิงถึงเจ้าของเอกสารทุกครั้งที่มีการนำไปใช้

## สารบัญ

	หน้า
บทคัดย่อภาษาไทย	I
บทคัดย่อภาษาอังกฤษ	II
กิตติกรรมประกาศ	III
สารบัญ	IV
สารบัญตาราง	VI
สารบัญรูป	VII
บทที่ 1 บทนำ	
1.1 ความเป็นมาและความสำคัญของงานวิจัย	1
1.2 วัตถุประสงค์ของงานวิจัย	1
1.3 การดำเนินงานวิจัย	1
1.4 ประโยชน์ที่ได้รับจากงานวิจัย	1
1.5 หน่วยงานที่นำผลงานวิจัยไปใช้ประโยชน์	2
1.6 ขอบเขตของโครงการวิจัย	2
1.7 ระยะเวลาที่ทำการวิจัย	2
บทที่ 2 ทฤษฎีและ งานวิจัยที่เกี่ยวข้อง	
2.1 สเปกตรัมของดวงอาทิตย์	3
2.2 การรวมความร้อนจากแสงอาทิตย์ ( Solar collector )	4
2.3 การรวมความรังสีแบบพลาโลบิลิก	4
2.4 เครื่องมือที่ใช้ในการวัดการแผ่รังสีของดวงอาทิตย์	5
2.4.1 Pyranometer	5
2.4.2 Pyrheliometer	6
2.5 ตัวแปรต่างๆที่เป็นปัจจัยในการวิเคราะห์	6
2.6 การวัดค่าความร้อนเชิงอุณหภูมิต	7
2.7 เทอร์โมคัปเปิล	8
2.8 ผลของแรงเคลื่อนไฟฟ้าจากความร้อน (Thermoelectric Effect)	9
2.8.1 ผลของซีเบ็ค (Seebeck Effect)	9
2.8.2 ผลของเพลเทียร์ (Peltier Effects)	10

เอกสารนี้เป็นเอกสารที่สงวนไว้สำหรับการใช้งานเพื่อการศึกษาเท่านั้น ไม่อนุญาตให้นำไปใช้ประโยชน์ด้านการค้า  
ไม่ว่ากรณีใดๆทั้งสิ้น อีกทั้งห้ามมิให้ดัดแปลงเนื้อหา และต้องอ้างอิงถึงเจ้าของเอกสารทุกครั้งที่มีการนำไปใช้

## สารบัญ(ต่อ)

	หน้า
บทที่ 3 วิธีการดำเนินงานวิจัย	
3.1 โครงสร้างของระบบ	11
3.2 ระบบการรับแสงแบบติดตามดวงอาทิตย์	11
3.3 การเก็บค่าพารามิเตอร์ในการวิจัย โครงสร้างของระบบ	15
บทที่ 4 ผลการวิจัยและอภิปรายผล	
4.1 ผลการเก็บค่าพารามิเตอร์ในการศึกษาบทที่	16
4.2 กราฟค่าพารามิเตอร์ในการศึกษา	29
บทที่ 5 สรุปผลวิจัยและข้อเสนอแนะ	38
เอกสารอ้างอิง	39



เอกสารนี้เป็นเอกสารที่สงวนไว้สำหรับการใช้งานเพื่อการศึกษาเท่านั้น ไม่อนุญาตให้นำไปใช้ประโยชน์ด้านการค้า  
ไม่ว่ากรณีใดๆทั้งสิ้น อีกทั้งห้ามมิให้ดัดแปลงเนื้อหา และต้องอ้างอิงถึงเจ้าของเอกสารทุกครั้งที่มีการนำไปใช้

## สารบัญตาราง

ตารางที่	หน้า
4.1 ผลการเก็บค่าพารามิเตอร์ในวันที่ 14 พฤศจิกายน 2551	16
4.2 ผลการเก็บค่าพารามิเตอร์ในวันที่ 21 พฤศจิกายน 2551	17
4.3 ผลการเก็บค่าพารามิเตอร์ในวันที่ 28 พฤศจิกายน 2551	19
4.4 ผลการเก็บค่าพารามิเตอร์ในวันที่ 4 ธันวาคม 2551	20
4.5 ผลการเก็บค่าพารามิเตอร์ในวันที่ 11 ธันวาคม 2551	21
4.6 ผลการเก็บค่าพารามิเตอร์ในวันที่ 17 ธันวาคม 2551	23
4.7 ผลการเก็บค่าพารามิเตอร์ในวันที่ 24 ธันวาคม 2551	24
4.8 ผลการเก็บค่าพารามิเตอร์ในวันที่ 13 มกราคม 2551	25
4.9 ผลการเก็บค่าพารามิเตอร์ในวันที่ 25 มกราคม 2551	27



เอกสารนี้เป็นเอกสารที่สงวนไว้สำหรับการใช้งานเพื่อการศึกษาเท่านั้น ไม่อนุญาตให้นำไปใช้ประโยชน์ด้านการค้า  
ไม่ว่ากรณีใดๆทั้งสิ้น อีกทั้งห้ามมิให้ดัดแปลงเนื้อหา และต้องอ้างอิงถึงเจ้าของเอกสารทุกครั้งที่มีการนำไปใช้

## สารบัญรูป

ภาพที่	หน้า
2.1 สเปกตรัมของคลื่นแม่เหล็กไฟฟ้าที่ดวงอาทิตย์แผ่มาของโลก	3
2.2 การรวมความร้อนจากแสงอาทิตย์แบบต่างๆ	4
2.3 การรวมแสงจากจุดโฟกัสของกระจกเว้า	5
2.4 Pyranometer	6
2.5 Pyrheliometer	7
2.6 เทอร์โมคัปเปิล Type K	8
2.7 แสดงผลของซีแบ็ค	9
2.8 แสดงผลของเพลเทียร์	10
3.1 เครื่องรวมพลังงานความร้อนจากแสงอาทิตย์ที่ใช้แผ่นสะท้อนแสงรูปทรงพาราโบลอยด์	11
3.2 การทดสอบการติดตามดวงอาทิตย์ในแนวแกน y	13
3.3 วงจรตรวจวัดความเข้มแสงอาทิตย์	13
3.4 วงจรขับมอเตอร์ของระบบติดตามดวงอาทิตย์	14
3.5 ชุดควบคุมระบบติดตามดวงอาทิตย์	14
3.6 ระบบติดตามดวงอาทิตย์	15
4.1 กราฟค่าพารามิเตอร์ในวันที่ 14 พฤศจิกายน 2551	29
4.2 กราฟค่าพารามิเตอร์ในวันที่ 21 พฤศจิกายน 2551	30
4.3 กราฟค่าพารามิเตอร์ในวันที่ 28 พฤศจิกายน 2551	31
4.4 กราฟค่าพารามิเตอร์ในวันที่ 4 ธันวาคม 2551	32
4.5 กราฟค่าพารามิเตอร์ในวันที่ 11 ธันวาคม 2551	33
4.6 กราฟค่าพารามิเตอร์ในวันที่ 17 ธันวาคม 2551	34
4.7 กราฟค่าพารามิเตอร์ในวันที่ 24 ธันวาคม 2551	35
4.8 กราฟค่าพารามิเตอร์ในวันที่ 13 มกราคม 2551	36
4.9 กราฟค่าพารามิเตอร์ในวันที่ 25 มกราคม 2551	37

เอกสารนี้เป็นเอกสารที่สงวนไว้สำหรับการใช้งานเพื่อการศึกษาเท่านั้น ไม่อนุญาตให้นำไปใช้ประโยชน์ด้านการค้า  
ไม่ว่ากรณีใดๆทั้งสิ้น อีกทั้งห้ามมิให้ดัดแปลงเนื้อหา และต้องอ้างอิงถึงเจ้าของเอกสารทุกครั้งที่มีการนำไปใช้

## บทที่ 1

### บทนำ

#### 1.1 ความเป็นมาและความสำคัญของงานวิจัย

ในปัจจุบันความต้องการพลังงานทดแทนมีมากขึ้น เนื่องจากพลังงานหลักที่ใช้ในปัจจุบันได้มาจากแหล่งพลังงานปิโตรเลียม ซึ่งมีราคาแพงขึ้นและคาดว่าจะหมดไปในเวลาอันสั้น จึงจำเป็นต้องทำการศึกษาการนำพลังงานจากธรรมชาติมาใช้ หนึ่งในพลังงานธรรมชาติที่สามารถนำมาแปลงพลังงานไฟฟ้าได้คือพลังงานความร้อนแสงอาทิตย์ ที่สามารถแปลงเป็นพลังงานไฟฟ้า

เครื่องรวมพลังงานความร้อนจากแสงอาทิตย์เป็นอุปกรณ์ต้นแบบ เพื่อศึกษาการออกแบบเครื่องแปลงพลังงานความร้อนเป็นพลังงานไฟฟ้า

#### 1.2 วัตถุประสงค์ของงานวิจัย

ศึกษาความสัมพันธ์ของความเข้มแสงกับความร้อนเชิงอุณหภูมิต

#### 1.3 การดำเนินงานวิจัย

1.3.1 ศึกษาพลังงานความร้อนจากแสงอาทิตย์

1.3.2 ออกแบบอุปกรณ์ที่ใช้ในการทดลอง

1.3.3 สร้างชุดทดลอง

1.3.4 เก็บผลการทดลอง

1.3.5 วิเคราะห์ และสรุปผลการทดลอง

#### 1.4 ประโยชน์ที่ได้รับจากงานวิจัย

1.4.1 ทราบถึง การประยุกต์ใช้พลังงานความร้อนจากแสงอาทิตย์

1.4.2 ได้ผลการทดลองการเก็บค่าความสัมพันธ์ของความเข้มแสงกับความร้อนเชิงอุณหภูมิต

เอกสารนี้เป็นเอกสารที่สงวนไว้สำหรับการใช้งานเพื่อการศึกษาเท่านั้น ไม่อนุญาตให้นำไปใช้ประโยชน์ด้านการค้าไม่ว่ากรณีใดๆทั้งสิ้น อีกทั้งห้ามมิให้ดัดแปลงเนื้อหา และต้องอ้างอิงถึงเจ้าของเอกสารทุกครั้งที่มีการนำไปใช้

1.4.3 มีฐานข้อมูลในการออกแบบเครื่องแปลงพลังงานความร้อนเป็นพลังงานไฟฟ้า

#### 1.5 หน่วยงานที่นำผลงานวิจัยไปใช้ประโยชน์

1.5.1 หน่วยงานสถานศึกษาที่ทำวิจัยด้านพลังงาน

1.5.2 หน่วยงานที่ทำงานทางด้านพลังงาน

#### 1.6 ขอบเขตของโครงการวิจัย

1.6.1 ศึกษาการรวมพลังงานความร้อนจากแสงอาทิตย์

1.6.2 เก็บผลการทดลองหาค่าความสัมพันธ์ของความเข้มแสงกับความร้อนเชิงอุณหภูมิต

#### 1.7 ระยะเวลาที่ทำการวิจัย

1 ปี



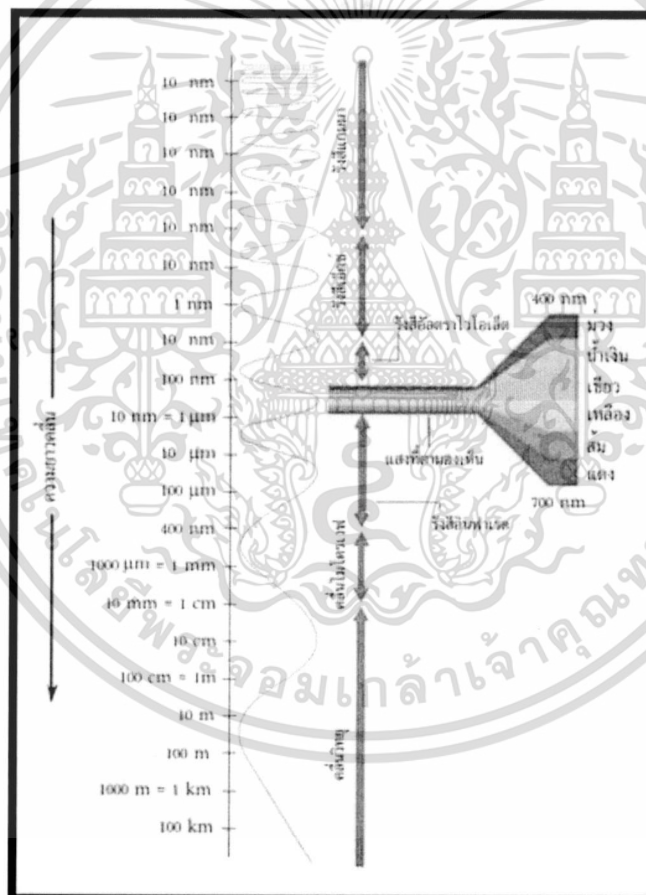
เอกสารนี้เป็นเอกสารที่สงวนไว้สำหรับการใช้งานเพื่อการศึกษาเท่านั้น ไม่อนุญาตให้นำไปใช้ประโยชน์ด้านการค้า  
ไม่ว่ากรณีใดๆทั้งสิ้น อีกทั้งห้ามมิให้ตัดแปลงเนื้อหา และต้องอ้างอิงถึงเจ้าของเอกสารทุกครั้งที่มีการนำไปใช้

## บทที่ 2

### ทฤษฎีและงานวิจัยที่เกี่ยวข้อง

#### 2.1 สเปกตรัมของดวงอาทิตย์

แสงอาทิตย์ที่แผ่รังสีมายังโลกเป็นคลื่นแม่เหล็กไฟฟ้าที่มีสเปกตรัมที่มีช่วงกว้าง ซึ่งมีตั้งแต่ รังสี UV, แสง, รังสีอินฟราเรด, ไมโครเวฟ, รังสีเอ็กซ์ และรังสีคอสมิก ในปัจจุบันเราสามารถนำพลังงานจากแสงอาทิตย์มาใช้ประโยชน์ได้ในรูปแบบของแสงและความร้อน ซึ่งคลื่นแม่เหล็กไฟฟ้าที่ดวงอาทิตย์แผ่มายังโลกมีสเปกตรัมดังรูปที่ 2.1



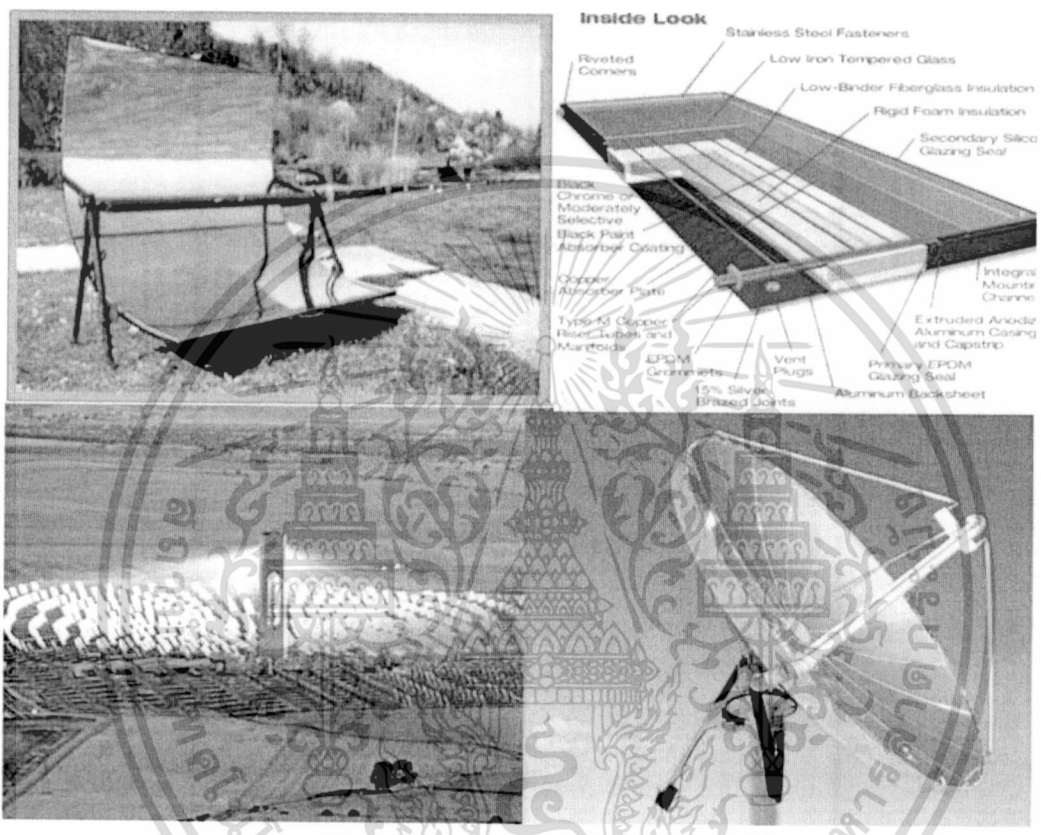
รูปที่ 2.1 สเปกตรัมของคลื่นแม่เหล็กไฟฟ้าที่ดวงอาทิตย์แผ่มายังโลก

ในรูปแบบของแสงเราสามารถแปลงเป็นพลังงานไฟฟ้าได้ด้วยโซลาร์เซลล์ ส่วนพลังงานความร้อนเราสามารถนำมาแปลงเป็นพลังงานไฟฟ้าได้ด้วยเทคนิคการรวมความร้อนจากแสงอาทิตย์ (Solar collector)

เอกสารนี้เป็นเอกสารที่สงวนไว้สำหรับการใช้งานเพื่อการศึกษาเท่านั้น ไม่อนุญาตให้นำไปใช้ประโยชน์ด้านการค้า ไม่ว่าจะกรณีใดๆทั้งสิ้น อีกทั้งห้ามมิให้ดัดแปลงเนื้อหา และต้องอ้างอิงถึงเจ้าของเอกสารทุกครั้งที่มีการนำไปใช้

### 2.2 การรวมความร้อนจากแสงอาทิตย์ ( Solar collector )

การรวมความร้อนจากแสงอาทิตย์ ( Solar collector ) คือการรวมคลื่นแม่เหล็กไฟฟ้าที่ดวงอาทิตย์ที่แผ่มายังพื้นโลกให้รวมกันที่บริเวณหนึ่ง และทำให้บริเวณนั้นมีความของรังสีสูงกว่าที่ดวงอาทิตย์แผ่ออกมาตามปกติ ซึ่งอุปกรณ์ดังกล่าวมีหลากหลายลักษณะ ดังรูปที่ 2



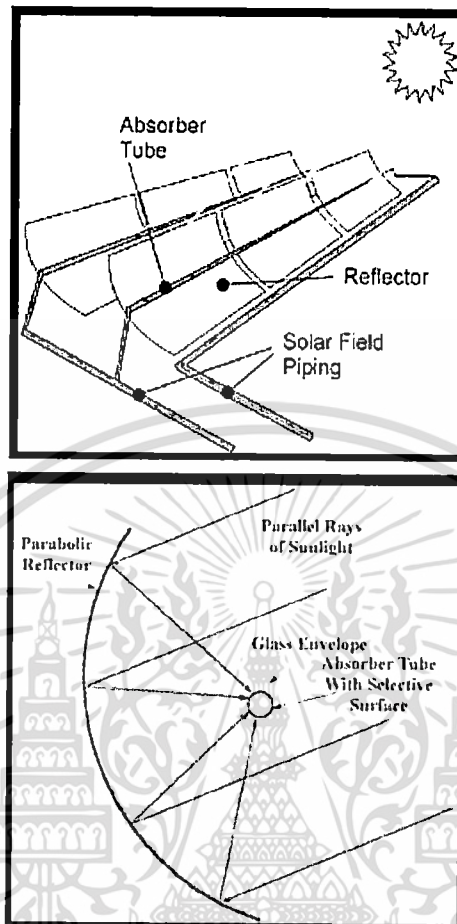
รูปที่ 2.2 การรวมความร้อนจากแสงอาทิตย์แบบต่างๆ

แต่ในการวิจัยนี้จะเน้นการรวมความร้อนรังสีแบบพลาโบลิกเท่านั้น

### 2.3 การรวมความร้อนรังสีแบบพลาโบลิก

การรวมความร้อนรังสีแบบพลาโบลิกมีหลักการรวมรังสีจากดวงอาทิตย์ โดยการรวมแสงด้วยกระจกเว้าที่จะสะท้อนจากแสงอาทิตย์ที่แผ่ลงมาในแนวตั้งฉากกับแนวเส้นปกติของกระจกเว้าแล้วไปรวมกันที่จุดโฟกัสของกระจกเว้าดังรูปที่ 2.3

เอกสารนี้เป็นเอกสารที่สงวนไว้สำหรับการใช้งานเพื่อการศึกษาเท่านั้น ไม่อนุญาตให้นำไปใช้ประโยชน์ด้านการค้าไม่ว่ากรณีใดๆทั้งสิ้น อีกทั้งห้ามมิให้ตัดแปลงเนื้อหา และต้องอ้างอิงถึงเจ้าของเอกสารทุกครั้งที่มีการนำไปใช้



รูปที่ 2.3 การรวมแสงจากจุดโฟกัสของกระจกเว้า

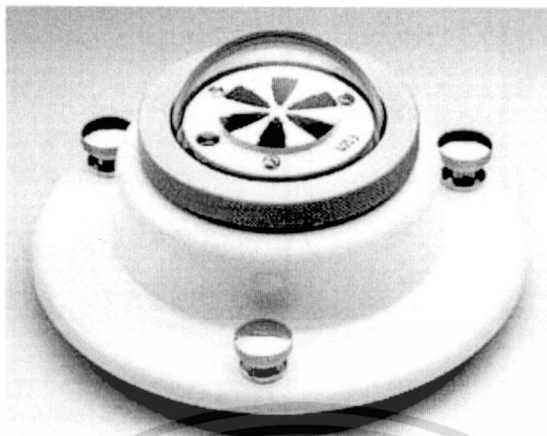
## 2.4 เครื่องมือที่ใช้ในการวัดการแผ่รังสีของดวงอาทิตย์

เครื่องมือที่ใช้ในการวัดการแผ่รังสีของดวงอาทิตย์มีเครื่องมือพื้นฐานอยู่สองชนิดดังนี้

### 2.4.1.1 Pyranometer

Pyranometer เป็นเครื่องมือที่ตรวจวัดการแผ่รังสีของแสงอาทิตย์และจากท้องฟ้ารอบๆดวงอาทิตย์ ในทิศทางทางที่ขนานกันกับแนวปรกติกับตัวตรวจรับ ดังรูปที่ 2.4

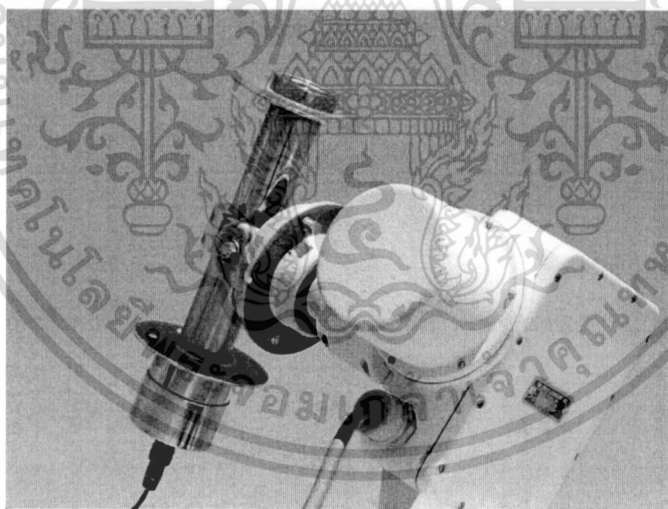
เอกสารนี้เป็นเอกสารที่สงวนไว้สำหรับการใช้งานเพื่อการศึกษาเท่านั้น ไม่อนุญาตให้นำไปใช้ประโยชน์ด้านการค้า ไม่ว่าจะกรณีใดๆทั้งสิ้น อีกทั้งห้ามมิให้ดัดแปลงเนื้อหา และต้องอ้างอิงถึงเจ้าของเอกสารทุกครั้งที่มีการนำไปใช้



รูปที่ 2. 4 Pyranometer

#### 2.4.2 Pyrheliometer

Pyrheliometer เป็นเครื่องมือสำหรับวัดการแผ่รังสีรวมในส่วนของครึ่งทรงกลมของดวงอาทิตย์ (ส่วนที่เป็นลำ + ส่วนที่แผ่ออกมา) ที่ส่งมายังแนวราบเสมอ แต่ถ้าในกรณีที่แดดเริ่มการวัดจะเป็นการวัดใส่ส่วนของ การแผ่ของแสงเพียงอย่างเดียว ดังรูปที่ 2.5



รูปที่ 2.5 Pyrheliometer

#### 2.5 ตัวแปรต่างๆที่เป็นปัจจัยในการวิเคราะห์

ในการศึกษาความสัมพันธ์ของการรวมความเข้มแสงกับความร้อนเชิงอุณหภูมินั้นจำเป็นต้องทราบ ความหมายของพารามิเตอร์ที่เกี่ยวข้องกับการเก็บค่าผลการทดลองซึ่งมีพารามิเตอร์ต่างๆดังนี้

เอกสารนี้เป็นเอกสารที่สงวนไว้สำหรับการใช้งานเพื่อการศึกษาเท่านั้น ไม่อนุญาตให้นำไปใช้ประโยชน์ด้านการค้า ไม่ว่ากรณีใดๆทั้งสิ้น อีกทั้งห้ามมิให้ดัดแปลงเนื้อหา และต้องอ้างอิงถึงเจ้าของเอกสารทุกครั้งที่มีการนำไปใช้

ลำรังสี (Beam radiation)  $I_b$

ลำรังสี คือความเข้มของลำรังสีที่แผ่ออกมาจากดวงอาทิตย์มายังผิวโลกโดยตรง

รังสีแพร่ (Diffuse radiation)  $I_d$

รังสีแพร่ คือลำรังสีที่แผ่ออกมาจากดวงอาทิตย์แล้วเกิดการกระเจิงบริเวณชั้นบรรยากาศ

การแผ่รังสี (Irradiance)  $I$

การแผ่รังสี คืออัตราการแผ่พลังงานรังสีที่ตกกระทบบนพื้นที่หนึ่งหน่วย

พลังงานการแผ่รังสี (Radiant exposure)  $(J/m^2)$

พลังงานการแผ่รังสี คืออัตราการแผ่พลังงานรังสีที่ตกกระทบบนพื้นที่ใดๆในช่วงเวลาหนึ่ง

กำลังการแผ่รังสี (Radiant exitance)  $(W/m^2)$

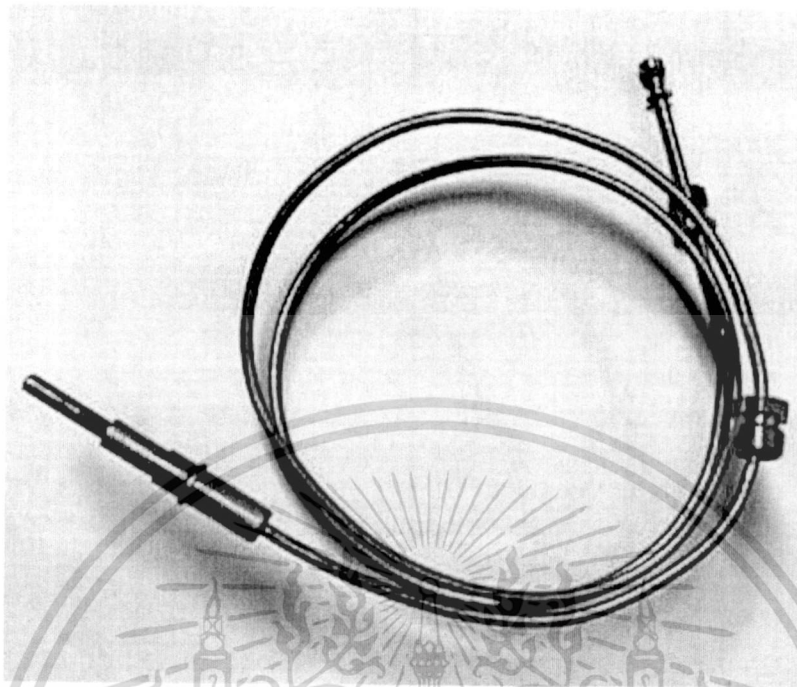
กำลังการแผ่รังสี คือกำลังงานของรังสีที่ตกกระทบบนพื้นที่หนึ่งหน่วย ซึ่งรวมการปลดปล่อยจากแหล่งกำเนิด, การสะท้อน และการส่งผ่าน

กำลังการปลดปล่อย (Emissive power)  $(W/m^2)$

กำลังการปลดปล่อย คือกำลังงานของรังสีที่ตกกระทบบนพื้นที่หนึ่งหน่วย ที่ได้รับการปลดปล่อยจากแหล่งกำเนิดเท่านั้น

## 2.6 การวัดค่าความร้อนเชิงอุณหภูมิ

ในการศึกษาความสัมพันธ์ของการรวมความเข้มแสงกับความร้อนเชิงอุณหภูมินั้น เราจำเป็นต้องวัดค่าความร้อนที่รวมได้บนพื้นที่ที่เราทำการรวมความเข้ม เพื่อหาความสัมพันธ์ของการรวมความเข้มแสงกับความร้อนเชิงอุณหภูมิ ในงานวิจัยนี้จึงทำการค่าอุณหภูมิที่บริเวณจุ่มแสงของชุดอุปกรณ์ด้วยเทอร์โมคัปเปิล Type K ดังรูปที่ 2.6

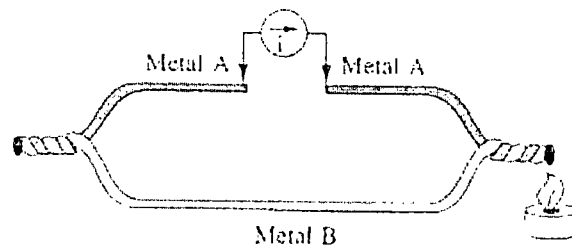


รูปที่ 2.6 เทอร์โมคัปเปิล Type K

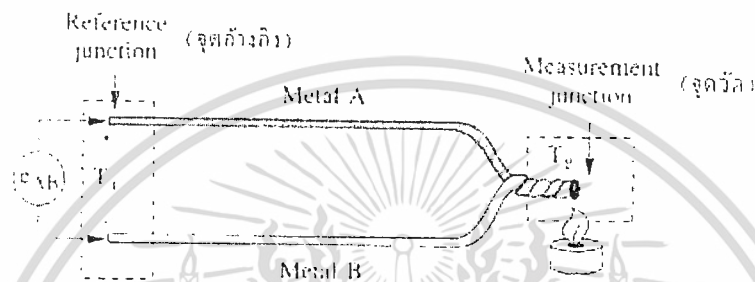
## 2.7 เทอร์โมคัปเปิล

เทอร์โมคัปเปิล คืออุปกรณ์วัดอุณหภูมิโดยใช้หลักการเปลี่ยนแปลงอุณหภูมิหรือความร้อนเป็นแรงเคลื่อนไฟฟ้า (emf) เทอร์โมคัปเปิลทำมาจากโลหะตัวนำที่ต่างชนิดกัน 2 ตัว (แตกต่างกันทางโครงสร้างของอะตอม) นำมาเชื่อมต่อปลายทั้งสองเข้าด้วยกันที่ปลายด้านหนึ่ง เรียกว่าจุดวัดอุณหภูมิ ส่วนปลายอีกด้านหนึ่งปล่อยให้เปิดไว้ เรียกว่าจุดอ้างอิง หากจุดวัดอุณหภูมิและจุดอ้างอิงมีอุณหภูมิต่างกันก็จะทำให้เกิดการนำกระแสในวงจรเทอร์โมคัปเปิลทั้งสองข้าง ปรากฏการณ์ดังกล่าวนี้ค้นพบโดย Thomas Seebeck นักวิทยาศาสตร์ชาวเยอรมันในปี ค.ศ.1821 ในรูปที่ 2.7 เป็นวงจรที่ใช้อธิบายผลของซีแบ็คดังกล่าว

เอกสารนี้เป็นเอกสารที่สงวนไว้สำหรับการใช้งานเพื่อการศึกษาเท่านั้น ไม่อนุญาตให้นำไปใช้ประโยชน์ด้านการค้า ไม่ว่ากรณีใดๆทั้งสิ้น อีกทั้งห้ามมิให้ดัดแปลงเนื้อหา และต้องอ้างอิงถึงเจ้าของเอกสารทุกครั้งที่มีการนำไปใช้



(ก) กระแสในวงจรเปิด



(ข) วงจรเชื่อมโลกคร่อมวงจรมวล

รูปที่ 2.7 แสดงผลของซีแบ็ค

## 2.8 ผลของแรงเคลื่อนไฟฟ้าจากความร้อน (Thermoelectric Effect)

ทฤษฎีพื้นฐานของผลจากเทอร์โมอิเล็กทริก เกิดจากการส่งผ่านทางไฟฟ้าและทางความร้อนของโลหะที่ต่างกันจึงทำให้เกิดความต่างศักย์ทางไฟฟ้าตกคร่อมที่โลหะนั้น ความต่างศักย์นี้จะสัมพันธ์กับความจริงที่ว่า อิเล็กตรอนในปลายด้านร้อนของโลหะจะมีพลังงานความร้อนมากกว่าปลายทางด้านเย็น จึงทำให้อิเล็กตรอนมีความเร็วไปหาปลายด้านเย็น ที่อุณหภูมิเดียวกันนี้การเคลื่อนที่ของอิเล็กตรอนจะแปรเปลี่ยนไปตามโลหะที่ต่างชนิดกันด้วย ที่เป็นเช่นนี้ก็เพราะว่า โลหะที่ต่างกันจะมีการนำความร้อนที่ต่างกันนั่นเอง

### 2.8.1 ผลของซีแบ็ค (Seebeck Effect)

การใช้ทฤษฎีโซลิตสแตด เราสามารถวิเคราะห์ค่าได้จากสมการอินทิเกรตค่าจากย่านของอุณหภูมิดังกล่าว นั่นคือ

$$\varepsilon = \int_{T_1}^{T_2} (Q_A - Q_B) dT$$

สมการนี้จะอธิบายผลของซีแบ็ค ซึ่งพบว่า

เอกสารนี้เป็นเอกสารที่สงวนไว้สำหรับการใช้งานเพื่อการศึกษาเท่านั้น ไม่อนุญาตให้นำไปใช้ประโยชน์ด้านการค้า ไม่ว่าจะกรณีใดๆทั้งสิ้น อีกทั้งห้ามมิให้ดัดแปลงเนื้อหา และต้องอ้างอิงถึงเจ้าของเอกสารทุกครั้งที่มีการนำไปใช้

1. ค่า emf. ที่เกิดจะเป็นสัดส่วนกับความแตกต่างของอุณหภูมิ จึงเกิดความแตกต่างของค่าคงที่ในการส่งผ่านความร้อนของโลหะ

2. ถ้าใช้โลหะชนิดเดียวกันมาทำเทอร์โมคัปเปิลค่า emf. ที่ได้ก็จะมีค่าเป็นศูนย์

3. ถ้าอุณหภูมิทั้งสองจุดคือจุดวัดและจุดอ้างอิงเหมือนกันค่า emf. ก็จะเป็นศูนย์

โดยสูตรที่ง่ายและสามารถนำมาคำนวณได้เช่นกันคือ

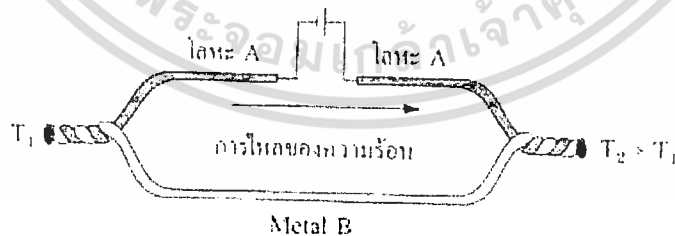
$$\varepsilon = \alpha(T_2 - T_1)$$

เมื่อ = ค่าคงที่หรือเรียกว่าสัมประสิทธิ์ของซีแบ็ค ; volts/K

$T_1, T_2$  = อุณหภูมิที่จุดต่อ ; K

### 2.8.2 ผลของเพลเทียร์ (Peltier Effects)

หากคิดย้อนกลับจากผลของซีแบ็ค นั่นคือใช้โลหะที่แตกต่างกันสองชนิดมาเชื่อมต่อทั้งสองเข้าด้วยกันแล้วจ่ายพลังงานจากภายนอกเข้าไป ก็จะเป็นเหตุให้เกิดกระแสไหลในวงจร เพราะจากคุณสมบัติในการส่งไฟฟ้าและความร้อนของโลหะ พบว่าขั้วหนึ่งจะเกิดความร้อน ( $T_2$ ) และอีกขั้วหนึ่งจะเกิดความเย็น ( $T_1$ ) ขึ้น โดยผลดังกล่าวเรียกว่า “ผลของเพลเทียร์” (Peltier effect) และถูกนำไปใช้งานพิเศษสำหรับการทำความเย็นกับส่วนของระบบอิเล็กทรอนิกส์ หรือแม้กระทั่งเครื่องทำความเย็นขนาดเล็ก



รูปที่ 2.8 แสดงผลของเพลเทียร์

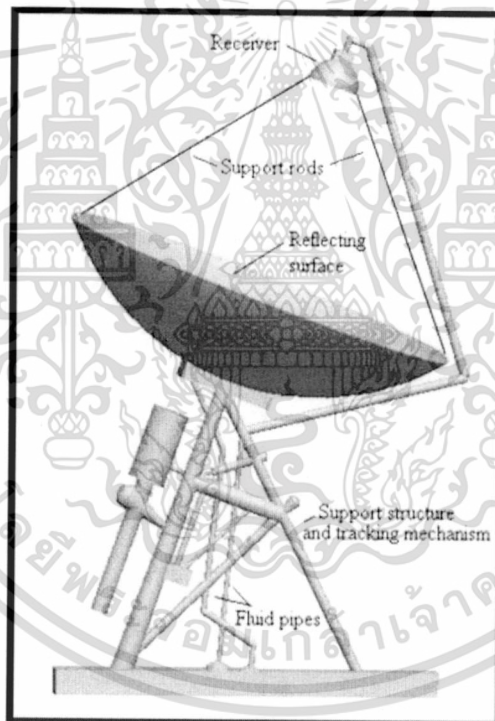
เอกสารนี้เป็นเอกสารที่สงวนไว้สำหรับการใช้งานเพื่อการศึกษาเท่านั้น ไม่อนุญาตให้นำไปใช้ประโยชน์ด้านการค้า ไม่ว่าจะกรณีใดๆทั้งสิ้น อีกทั้งห้ามมิให้ดัดแปลงเนื้อหา และต้องอ้างอิงถึงเจ้าของเอกสารทุกครั้งที่มีการนำไปใช้

## บทที่ 3

### วิธีการดำเนินงานวิจัย

#### 3.1 โครงสร้างของระบบ

เครื่องรวมพลังงานความร้อนจากแสงอาทิตย์แบบพาราโบลิกเป็นเครื่องรวมพลังงานความร้อนจากแสงอาทิตย์ที่ใช้แผ่นสะท้อนแสงรูปทรงพาราโบลอยด์ ซึ่งแสงที่ตกกระทบลงมาในแนวตั้งฉากกับระนาบปรกติของชุดสะท้อนจะไปรวมกันที่จุดโฟกัสของแผ่นสะท้อนทำให้เครื่องรวมพลังงานความร้อนจากแสงอาทิตย์แบบดังกล่าวมีความสามารถในการทำอุณหภูมิได้สูงกว่าเครื่องรวมพลังงานความร้อนจากแสงอาทิตย์แบบอื่นๆ ดังรูปที่ 3.1



รูปที่ 3.1 เครื่องรวมพลังงานความร้อนจากแสงอาทิตย์ที่ใช้แผ่นสะท้อนแสงรูปทรงพาราโบลอยด์

#### 3.2 ระบบการรับแสงแบบติดตามดวงอาทิตย์

เทคนิคและวิธีการสร้างระบบติดตามดวงอาทิตย์ของเครื่องรวมพลังงานความร้อนจากแสงอาทิตย์ เพื่อให้เครื่องรวมพลังงานความร้อนจากแสงอาทิตย์สามารถเคลื่อนที่ตามตำแหน่งดวงอาทิตย์และสามารถ

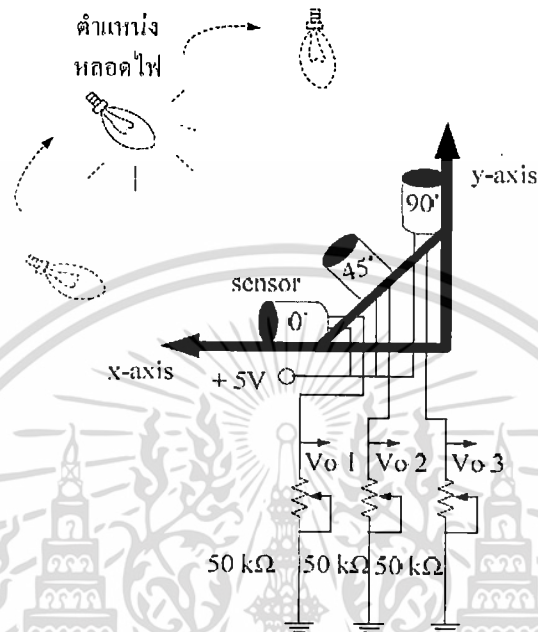
เอกสารนี้เป็นเอกสารที่สงวนไว้สำหรับการใช้งานเพื่อการศึกษาเท่านั้น ไม่อนุญาตให้นำไปใช้ประโยชน์ด้านการค้า ไม่ว่าจะกรณีใดๆทั้งสิ้น อีกทั้งห้ามมิให้ดัดแปลงเนื้อหา และต้องอ้างอิงถึงเจ้าของเอกสารทุกครั้งที่มีการนำไปใช้

จัดเก็บพลังงานได้อย่างเต็มที่นั้นได้ สามารถจำแนกตามวิธีการที่ใช้ในการติดตาม ได้อยู่ 4 ลักษณะคือ ระบบติดตามดวงอาทิตย์แบบเชิงกลหรือถ่วงน้ำหนักวิธีการควบคุมลักษณะนี้จะอาศัยการเปลี่ยนแปลงของของเหลวในท่อที่ยึดติดกับเครื่องรวมพลังงานความร้อนจากแสงอาทิตย์ทำงานร่วมกับตัวตรวจจับความเข้มแสงเมื่อความเข้มแสงเปลี่ยนไปปี้มจะทำการสูบของเหลวออกและปล่อยของเหลวเข้าตามค่าของความเข้มแสงน้ำหนักของของเหลวที่ถ่ายเทไปมาจะทำให้แผงเซลล์แสงอาทิตย์เคลื่อนที่ไปในแนวอัลติจูดเปรียบเสมือนกับเคลื่อนที่ตามดวงอาทิตย์ ปริมาณการใช้ไฟฟ้าในการเคลื่อนที่ และการบำรุงรักษาน้อย เมื่อเทียบกับระบบอื่นแต่ระบบ มีความแม่นยำค่อนข้างต่ำ แบบที่สองระบบติดตามดวงอาทิตย์ควบคุมด้วยวงจรถวล็อกเป็นแบบควบคุมการติดตามด้วยอุปกรณ์ทางอิเล็กทรอนิกส์ที่เป็นอนาล็อกในการควบคุมการทำงานร่วมกับอุปกรณ์ตรวจจับระดับความเข้มแสง เช่นโฟโต้ไดโอด โฟโตทรานซิสเตอร์หรือ ตัวต้านทานแปรค่าตามแสงโดยจะรับค่าแรงดันจากอุปกรณ์ตรวจวัดระดับความเข้มแสงมาเข้าสู่ชุดเปรียบเทียบแรงดันโดยใช้โอปแอมป์อาศัยการเปลี่ยนสถานะทางด้านเอาต์พุตที่ได้ไปควบคุมการเคลื่อนที่ของเครื่องรวมพลังงานความร้อนจากแสงอาทิตย์การติดตามตำแหน่งดวงอาทิตย์ลักษณะนี้ไม่มีความซับซ้อนของวงจรถวล็อกและสามารถปรับเครื่องรวมพลังงานความร้อนจากแสงอาทิตย์ให้ได้ตั้งฉากกับแสงที่มาจากกระทบแต่ อุปกรณ์ตรวจจับแสงมีความไวต่อแสงมากทำให้ระบบติดตามดวงอาทิตย์ทำงานตลอดเวลา แม้ว่าความแตกต่างระดับความเข้มแสงเพียงเล็กน้อย ทำให้หน้าสัมผัสรีเลย์เกิดการอาร์ค แบบที่สามารถระบบติดตามดวงอาทิตย์ควบคุมด้วยวงจรถวล็อกเป็นระบบที่ทำงานร่วมกับตัวตรวจวัดระดับความเข้มของแสงระบบจะถูกออกแบบให้สัญญาณจากตัวตรวจวัดความเข้มแสงมีลักษณะเป็นดิจิตอลป้อนให้ระบบควบคุมที่เป็นวงจรถวล็อกโดยตรงอาศัยการเปลี่ยนสถานะด้านเอาต์พุตไปควบคุมการเคลื่อนที่ของเครื่องรวมพลังงานความร้อนจากแสงอาทิตย์ระบบควบคุมลักษณะนี้มีความแม่นยำสูง ใช้วงจรถวล็อกพื้นฐานทำให้สามารถสร้างวงจรถวล็อกได้ง่าย แต่การควบคุมลักษณะนี้จะเกิดการผิดพลาดได้ง่าย ในกรณีที่แสงมีความเข้มไม่มากพอที่จะทำให้สภาวะของลอจิกเกิดการเปลี่ยนแปลงและสิ่งสำคัญถ้าจะปรับปรุงระบบให้ดีขึ้นจะต้องออกแบบวงจรถวล็อกใหม่ แบบที่สี่ ระบบติดตามดวงอาทิตย์แบบควบคุมด้วยไมโครโปรเซสเซอร์ทำงานร่วมกับอุปกรณ์ตรวจวัดความเข้มแสงซึ่งจะมีทั้งการควบคุมแบบแกนเดียวและแบบสองแกนการควบคุมลักษณะนี้คือเปลี่ยนค่าความเข้มแสงในรูปสัญญาณอนาล็อกเป็นสัญญาณดิจิตอลด้วยไมโครโปรเซสเซอร์แล้วทำการประมวลผลตามฟังก์ชันที่เขียนไว้หากมีความแตกต่างของความเข้มแสงจากตัวตรวจจับแสงก็จะสั่งการให้ชุดควบคุมเคลื่อนที่ตามตำแหน่งดวงอาทิตย์ข้อดีของการควบคุมลักษณะนี้คือมีความเที่ยงตรงสูงและการปรับปรุงแก้ไขทำได้ง่ายแต่มีข้อเสียกรณีการควบคุมแบบสองแกนคือการวางตัวตรวจจับความเข้มแสงใกล้กันทำให้เกิดปัญหาความแตกต่างความเข้มแสง

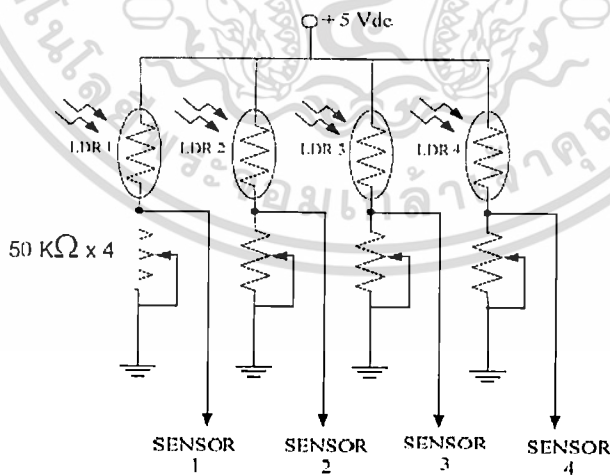
งานวิจัยนี้จึงได้เสนอการสร้างระบบติดตามดวงอาทิตย์ที่ใช้ตัวตรวจวัดความเข้มแสงทำงานร่วมกับไมโครโปรเซสเซอร์โดยใช้เทคนิควิธีการวางตัวตรวจจับความเข้มแสงไว้ตรงขอบกึ่งกลางของแผงเซลล์จำนวน 4 จุดทั้ง 4 ด้านซึ่งจะลดปัญหาความแตกต่างของความเข้มแสงกรณีวางตัวตรวจจับความเข้มแสงใกล้กัน โดยการเปรียบเทียบแสงจะใช้การเปรียบเทียบกับตัวที่อยู่ตรงกันข้ามเพื่อควบคุมการเคลื่อนที่ของแต่ละแนวแกนทั้งแนวอัลติจูด(x-axis) และแนวอะซิมุท(y-axis) ข้อได้เปรียบของระบบติดตามดวงอาทิตย์ลักษณะนี้คือเมื่อความเข้มแสงจากเซ็นเซอร์แต่ละคู่มีค่าใกล้เคียงกันแต่ไม่เกินค่าอ้างอิงที่กำหนดไว้ภายในโปรแกรมระบบจะไม่ทำ

เอกสารนี้เป็นเอกสารที่สงวนไว้สำหรับการใช้งานเพื่อการศึกษาเท่านั้น ไม่อนุญาตให้นำไปใช้ประโยชน์ด้านการค้าไม่ว่ากรณีใดๆทั้งสิ้น อีกทั้งห้ามมิให้ดัดแปลงเนื้อหา และต้องอ้างอิงถึงเจ้าของเอกสารทุกครั้งที่มีการนำไปใช้

งานเพื่อป้องกันรีเลย์ทำ งานตลอดเวลา ป้องกันการอาร์คของหน้าสัมผัสและเป็นการนำเทคโนโลยีระบบควบคุมขนาดเล็ก ไปใช้งานจริงสำหรับการควบคุมภาคสนาม

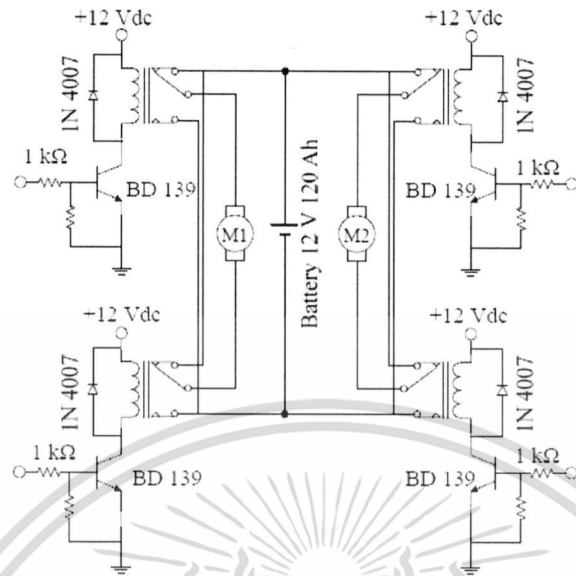


รูปที่ 3.2 การทดสอบการติดตามดวงอาทิตย์ในแนวแกน y

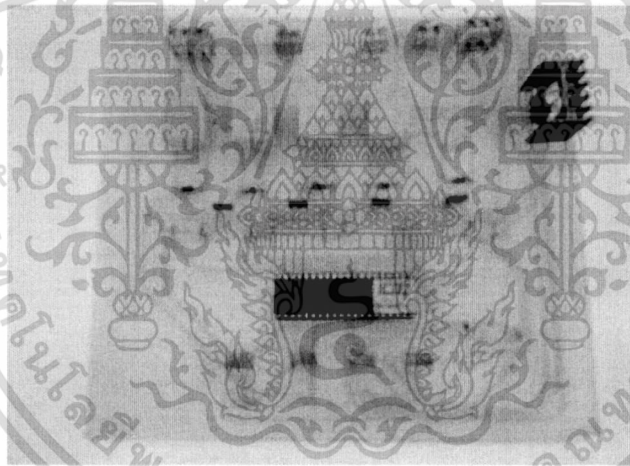


รูปที่ 3.3 วงจรตรวจวัดความเข้มแสงอาทิตย์

เอกสารนี้เป็นเอกสารที่สงวนไว้สำหรับการใช้งานเพื่อการศึกษาเท่านั้น ไม่อนุญาตให้นำไปใช้ประโยชน์ด้านการค้า ไม่ว่าจะกรณีใดๆทั้งสิ้น อีกทั้งห้ามมิให้ดัดแปลงเนื้อหา และต้องอ้างอิงถึงเจ้าของเอกสารทุกครั้งที่มีการนำไปใช้

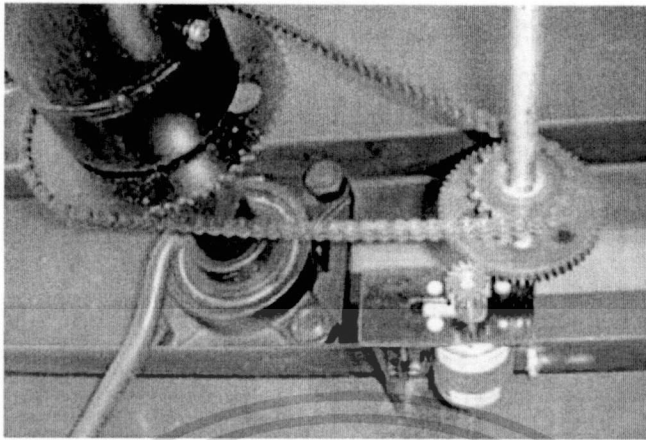


รูปที่ 3.4 วงจรขับมอเตอร์ของระบบติดตามดวงอาทิตย์



รูปที่ 3.5 ชุดควบคุมระบบติดตามดวงอาทิตย์

เอกสารนี้เป็นเอกสารที่สงวนไว้สำหรับการใช้งานเพื่อการศึกษาเท่านั้น ไม่อนุญาตให้นำไปใช้ประโยชน์ด้านการค้า ไม่ว่าจะกรณีใดๆทั้งสิ้น อีกทั้งห้ามมิให้ดัดแปลงเนื้อหา และต้องอ้างอิงถึงเจ้าของเอกสารทุกครั้งที่มีการนำไปใช้



รูปที่ 3.6 ระบบติดตามดวงอาทิตย์

### 3.3 การเก็บค่าพารามิเตอร์ในการวิจัย

การเก็บค่าความเข้มแสงจะใช้อุปกรณ์ Pyranometer วัดค่าความเข้มแสง และเก็บค่าพารามิเตอร์ ความเข้มแสง, อุณหภูมิที่จุดรวมแสง และเวลา ผ่านหน่วยประมวลผลกลาง AVR7 ซึ่งค่าที่ได้จะเก็บข้อมูลในรูปแบบของตาราง

เอกสารนี้เป็นเอกสารที่สงวนไว้สำหรับการใช้งานเพื่อการศึกษาเท่านั้น ไม่อนุญาตให้นำไปใช้ประโยชน์ด้านการค้า ไม่ว่ากรณีใดๆทั้งสิ้น อีกทั้งห้ามมิให้ดัดแปลงเนื้อหา และต้องอ้างอิงถึงเจ้าของเอกสารทุกครั้งที่มีการนำไปใช้

## บทที่ 4

### ผลการวิจัยและอภิปรายผล

#### 4.1 ผลการเก็บค่าพารามิเตอร์ในการศึกษา

จากการเก็บค่าผลการทดลองที่ได้จากชุดเก็บค่าพารามิเตอร์ด้วย AVR7 ในช่วงเดือน พฤศจิกายน 2551 จนถึง มกราคม 2552 พบผลการเก็บค่าพารามิเตอร์ที่เก็บได้ ดังนี้

ตารางที่ 4.1 ผลการเก็บค่าพารามิเตอร์ในวันที่ 14 พฤศจิกายน 2551

เวลา	ค่าความเข้มแสง	อุณหภูมิที่จุดไฟกัส	อุณหภูมิบริเวณที่ทำการเก็บผลทดลอง
นาฬิกา	วัตต์ต่อตารางเมตร	องศาเซลเซียส	องศาเซลเซียส
10:00	367.5	26.6	27.2
10:10	356.8	34.8	27.8
10:20	366.9	42.8	30.4
10:30	353.3	53.3	27.4
10:40	361.9	55.6	28.3
10:50	370.1	58	29.3
11:00	374.9	59.2	29.7
11:10	391.2	62.3	29.6
11:20	387.9	60.9	30.1
11:30	402.5	64.1	30.3
11:40	410.7	65.7	31.2
11:50	434.8	68.9	30.9
12:00	478.9	70.2	32.6
12:10	481	80.9	32.5
12:20	467.9	79.2	32.3
12:30	520.7	100.3	32.8
12:40	546.7	95.6	33.2

เอกสารนี้เป็นเอกสารที่สงวนไว้สำหรับการใช้งานเพื่อการศึกษาเท่านั้น ไม่อนุญาตให้นำไปใช้ประโยชน์ด้านการค้า ไม่ว่ากรณีใดๆทั้งสิ้น อีกทั้งห้ามมิให้ดัดแปลงเนื้อหา และต้องอ้างอิงถึงเจ้าของเอกสารทุกครั้งที่มีการนำไปใช้

12:50	573.1	120.3	33.5
13:00	567.9	142.7	33.3
13:10	602.1	160.7	33.7
13:20	578.4	170.3	33.4
13:30	589.7	155.9	34.2
13:40	587.4	164.6	33.9
13:50	579.2	151.2	34.5
14:00	568.5	148.7	32.6
14:10	572.1	143.8	33.2
14:20	550.3	158.4	32.4
14:30	510.4	149.8	32.5
14:40	530.6	152.3	32
14:50	489.6	138.6	31.4
15:00	463.3	130.2	30.6
15:10	476.9	137.8	30.4
15:20	429.8	117.8	29.8
15:30	403.9	105.6	30.3
15:40	410.6	96.3	28.9
15:50	367.1	92.1	28.4
16:00	391.6	89.7	28.6

ตารางที่ 4.2 ผลการเก็บค่าพารามิเตอร์ในวันที่ 21 พฤศจิกายน 2551

เวลา	ค่าความเข้มแสง	อุณหภูมิที่จุดไฟกัส	อุณหภูมิบริเวณที่ทำการเก็บผลการทดลอง
นาฬิกา	วัดต่อตารางเมตร	องศาเซลเซียส	องศาเซลเซียส
10:00	370.9	25.2	26.2
10:10	360.2	33.4	26.8
10:20	370.3	41.4	29.4
10:30	356.7	51.9	26.4

เอกสารนี้เป็นเอกสารที่สงวนไว้สำหรับการใช้งานเพื่อการศึกษาเท่านั้น ไม่อนุญาตให้นำไปใช้ประโยชน์ด้านการค้า ไม่ว่าจะกรณีใดๆทั้งสิ้น อีกทั้งห้ามมิให้คัดลอกเผยแพร่ข้อมูลนี้อ่างถึงเจ้าของเอกสารทุกครั้งที่มีการนำไปใช้

10:40	365.3	54.2	27.3
10:50	373.5	56.6	29.9
11:00	378.3	57.8	30.3
11:10	394.6	60.9	30.2
11:20	391.3	59.5	30.7
11:30	405.9	62.7	30.9
11:40	414.1	64.3	30.2
11:50	438.2	67.5	29.9
12:00	482.3	68.8	31.6
12:10	483.6	83	33.1
12:20	470.5	81.3	32.9
12:30	523.3	102.4	33.4
12:40	549.3	97.7	33.8
12:50	575.7	122.4	34.1
13:00	570.5	144.8	32.3
13:10	604.7	162.8	32.7
13:20	581	172.4	32.4
13:30	592.3	158	33.2
13:40	590	166.7	32.9
13:50	581.8	153.3	33.5
14:00	571.1	150.8	31.6
14:10	574.7	145.9	33.8
14:20	552.9	160.5	33
14:30	513	151.9	33.1
14:40	533.2	154.4	32.6
14:50	491	140.7	32
15:00	464.7	132.3	31.2
15:10	478.3	139.9	29.4
15:20	431.2	119.9	28.8
15:30	405.3	107.7	29.3
15:40	412	98.4	29.5
15:50	368.5	94.2	29
16:00	393	91.8	29.2

เอกสารนี้เป็นเอกสารที่สงวนไว้สำหรับการใช้งานเพื่อการศึกษาเท่านั้น ไม่อนุญาตให้นำไปใช้ประโยชน์ด้านการค้า  
ไม่ว่ากรณีใดๆทั้งสิ้น อีกทั้งห้ามมิให้ดัดแปลงเนื้อหา และต้องอ้างอิงถึงเจ้าของเอกสารทุกครั้งที่มีการนำไปใช้

ตารางที่ 4.3 ผลการเก็บค่าพารามิเตอร์ในวันที่ 28 พฤศจิกายน 2551

เวลา	ค่าความเข้มแสง	อุณหภูมิที่จุดไฟก๊าส	อุณหภูมิบริเวณที่ทำการเก็บผลทดลอง
นาฬิกา	วัตต์ต่อตารางเมตร	องศาเซลเซียส	องศาเซลเซียส
10:00	384.9	28.4	25.2
10:10	355.2	32	25.8
10:20	365.3	44.6	28.4
10:30	377.7	55.1	25.4
10:40	386.3	57.4	26.3
10:50	394.5	59.8	30.5
11:00	392.3	61	30.9
11:10	408.6	64.1	30.8
11:20	412.3	62.7	31.3
11:30	419.9	65.9	31.5
11:40	409.1	67.5	29.2
11:50	433.2	66.1	28.9
12:00	496.3	67.4	30.6
12:10	504.6	86.2	33.7
12:20	491.5	84.5	33.5
12:30	518.3	105.6	34
12:40	570.3	100.9	34.4
12:50	596.7	125.6	34.7
13:00	584.5	148	31.3
13:10	599.7	166	31.7
13:20	595	175.6	31.4
13:30	587.3	160.1	32.2
13:40	611	169.9	31.9
13:50	576.8	155.4	32.5
14:00	566.1	152.9	30.6
14:10	569.7	148	34.4
14:20	547.9	163.7	33.6

เอกสารนี้เป็นเอกสารที่สงวนไว้สำหรับการใช้งานเพื่อการศึกษาเท่านั้น ไม่อนุญาตให้นำไปใช้ประโยชน์ด้านการค้า  
ไม่ว่ากรณีใดๆทั้งสิ้น อีกทั้งห้ามมิให้ดัดแปลงเนื้อหา และต้องอ้างอิงถึงเจ้าของเอกสารทุกครั้งที่มีการนำไปใช้

14:30	508	154	33.7
14:40	528.2	157.6	33.2
14:50	505	142.8	32.6
15:00	485.7	134.4	31.8
15:10	499.3	142	28.4
15:20	426.2	123.1	27.8
15:30	419.3	109.8	28.3
15:40	426	101.6	30.1
15:50	382.5	96.3	29.6
16:00	414	95	29.8

ตารางที่ 4.4 ผลการเก็บค่าพารามิเตอร์ในวันที่ 4 ธันวาคม 2551

เวลา	ค่าความเข้มแสง	อุณหภูมิที่จุดโฟกัส	อุณหภูมิ ณ บริเวณที่ทำการเก็บผล การ ทดลอง
นาฬิกา	วัตต์ต่อตาราง เมตร	องศาเซลเซียส	องศาเซลเซียส
10:00	401.5	24.2	25.4
10:10	360.2	33.4	26
10:20	370.3	43.2	28.6
10:30	367.3	50.9	25.6
10:40	365.3	53.2	26.5
10:50	373.5	55.6	27.5
11:00	378.3	56.8	27.9
11:10	425.2	62.7	27.8
11:20	401.9	61.3	28.3
11:30	436.5	61.7	28.5
11:40	444.7	63.3	29.4
11:50	468.8	66.5	29.1
12:00	492.9	68.8	30.8
12:10	495	83	30.7
12:20	481.9	79.6	30.5
12:30	534.7	102.4	31

เอกสารนี้เป็นเอกสารที่สงวนลิขสิทธิ์และข้อมูลอื่นที่เกี่ยวข้องซึ่งอาจมีประโยชน์แก่ผู้อื่นโดยไม่อนุญาตให้นำไปใช้ประโยชน์ด้านการค้า  
ไม่ว่ากรณีใดๆทั้งสิ้น อีกทั้งห้ามมิให้ตัดแปลงเนื้อหา และต้องอ้างอิงถึงเจ้าของเอกสารทุกครั้งที่มีการนำไปใช้

12:40	549.3	97.7	31.4
12:50	607.1	122.4	31.7
13:00	601.9	143.1	31.5
13:10	636.1	161.1	31.9
13:20	612.4	170.7	31.6
13:30	603.7	156.3	32.4
13:40	601.4	165	32.1
13:50	593.2	153.3	32.7
14:00	571.1	150.8	30.8
14:10	574.7	145.9	31.4
14:20	552.9	158.8	30.6
14:30	513	151.9	30.7
14:40	533.2	154.4	30.2
14:50	491	139	29.6
15:00	477.3	130.6	28.8
15:10	490.9	138.2	28.6
15:20	463.8	119.9	28
15:30	437.9	107.7	28.5
15:40	424.6	98.4	27.1
15:50	401.1	89.7	26.6
16:00	393	87.3	26.8

ตารางที่ 4.5 ผลการเก็บค่าพารามิเตอร์ในวันที่ 11 ธันวาคม 2551

เวลา	ค่าความ เข้มแสง	อุณหภูมิที่ จุดโฟกัส	อุณหภูมิ ณ บริเวณที่ ทำการ เก็บผล การ ทดลอง
นาฬิกา	วัดต่อ ตาราง เมตร	องศา เซลเซียส	องศา เซลเซียส
10:00	415.5	27.4	24.4
10:10	355.2	32	25
10:20	365.3	46.4	27.6
10:30	388.3	54.1	24.6
10:40	386.3	56.4	25.5

เอกสารนี้เป็นเอกสารที่สงวนไว้สำหรับการใช้งานเพื่อการศึกษาเท่านั้น เมื่อนำไปใช้ประโยชน์ด้านการค้า  
ไม่ว่ากรณีใดๆทั้งสิ้น อีกทั้งห้ามมิให้ตัดแปลงเนื้อหา และต้องอ้างอิงถึงเจ้าของเอกสารทุกครั้งที่มีการนำไปใช้

10:50	394.5	58.8	28.1
11:00	392.3	60	28.5
11:10	439.2	65.9	28.4
11:20	422.9	64.5	28.9
11:30	450.5	64.9	29.1
11:40	439.7	66.5	28.4
11:50	463.8	65.1	28.1
12:00	506.9	67.4	29.8
12:10	516	86.2	31.3
12:20	502.9	82.8	31.1
12:30	529.7	105.6	31.6
12:40	570.3	100.9	32
12:50	628.1	125.6	32.3
13:00	615.9	146.3	30.5
13:10	631.1	164.3	30.9
13:20	626.4	173.9	30.6
13:30	598.7	158.4	31.4
13:40	622.4	168.2	31.1
13:50	588.2	155.4	31.7
14:00	566.1	152.9	29.8
14:10	569.7	148	32
14:20	547.9	162	31.2
14:30	508	154	31.3
14:40	528.2	157.6	30.8
14:50	505	141.1	30.2
15:00	498.3	132.7	29.4
15:10	511.9	140.3	27.6
15:20	458.8	123.1	27
15:30	451.9	109.8	27.5
15:40	438.6	101.6	27.7
15:50	415.1	91.8	27.2
16:00	414	90.5	27.4

เอกสารนี้เป็นเอกสารที่สงวนไว้สำหรับการใช้งานเพื่อการศึกษาเท่านั้น ไม่อนุญาตให้นำไปใช้ประโยชน์ด้านการค้า  
ไม่ว่ากรณีใดๆทั้งสิ้น อีกทั้งห้ามมิให้ดัดแปลงเนื้อหา และต้องอ้างอิงถึงเจ้าของเอกสารทุกครั้งที่มีการนำไปใช้

ตารางที่ 4.6 ผลการเก็บค่าพารามิเตอร์ในวันที่ 17 ธันวาคม 2551

เวลา	ค่าความ เข้มแสง	อุณหภูมิที่ จุดไฟก๊าส	อุณหภูมิ ณ บริเวณที่ ทำการ เก็บผล การ ทดลอง
นาฬิกา	วัตต์ต่อ ตาราง เมตร	องศา เซลเซียส	องศา เซลเซียส
10:00	378.5	24.6	24.2
10:10	348.8	32.8	29.4
10:20	370.3	46.8	28.6
10:30	367.3	51.3	25.6
10:40	358.9	53.6	26.5
10:50	362.1	56	27.5
11:00	366.9	57.2	27.9
11:10	383.2	60.3	27.8
11:20	379.9	58.9	28.3
11:30	394.5	68.1	31.9
11:40	421.7	69.7	32.8
11:50	445.8	72.9	32.5
12:00	489.9	68.2	34.2
12:10	492	78.9	34.1
12:20	478.9	79.6	33.9
12:30	517.7	102.4	34.4
12:40	543.7	97.7	31.4
12:50	570.1	122.4	31.7
13:00	559.9	140.7	31.5
13:10	594.1	164.7	31.9
13:20	570.4	174.3	31.6
13:30	603.7	159.9	32.4
13:40	584.4	162.6	32.1
13:50	576.2	149.2	36.1
14:00	579.5	146.7	34.2
14:10	583.1	141.8	34.8
14:20	561.3	162.4	34

เอกสารนี้เป็นเอกสารที่สงวนไว้สำหรับการใช้งานเพื่อการศึกษาเท่านั้น ไม่อนุญาตให้นำไปใช้ประโยชน์ด้านการค้า  
ไม่ว่ากรณีใดๆทั้งสิ้น อีกทั้งห้ามมิให้ดัดแปลงเนื้อหา และต้องอ้างอิงถึงเจ้าของเอกสารทุกครั้งที่มีการนำไปใช้

14:30	502.4	153.8	30.7
14:40	522.6	156.3	30.2
14:50	500.6	139	29.6
15:00	474.3	130.6	28.8
15:10	487.9	135.8	28.6
15:20	440.8	115.8	28
15:30	414.9	109.6	28.5
15:40	394.6	100.3	30.5
15:50	401.1	89.7	30
16:00	383.6	93.7	30.2

ตารางที่ 4.7 ผลการเก็บค่าพารามิเตอร์ในวันที่ 24 ธันวาคม 2551

เวลา	ค่าความเข้มแสง	อุณหภูมิที่จุดโฟกัส	อุณหภูมิ ณ บริเวณที่ทำการเก็บผล การทดลอง
นาฬิกา	วัตต์ต่อตารางเมตร	องศาเซลเซียส	องศาเซลเซียส
10:00	392.5	27.8	23.2
10:10	343.8	31.4	28.4
10:20	365.3	50	27.6
10:30	388.3	54.5	24.6
10:40	379.9	56.8	25.5
10:50	383.1	59.2	28.1
11:00	380.9	60.4	28.5
11:10	397.2	63.5	28.4
11:20	400.9	62.1	28.9
11:30	408.5	71.3	32.5
11:40	416.7	72.9	31.8
11:50	440.8	71.5	31.5
12:00	503.9	66.8	33.2
12:10	513	82.1	34.7

เอกสารนี้เป็นเอกสารที่สงวนไว้สำหรับการใช้งานเพื่อการศึกษาเท่านั้น ไม่อนุญาตให้นำไปใช้ประโยชน์ด้านการค้า ไม่ว่าจะกรณีใดๆทั้งสิ้น อีกทั้งห้ามมิให้ดัดแปลงเนื้อหา และต้องอ้างอิงถึงเจ้าของเอกสารทุกครั้งที่มีการนำไปใช้

12:20	499.9	82.8	34.5
12:30	512.7	105.6	35
12:40	564.7	100.9	32
12:50	591.1	125.6	32.3
13:00	573.9	143.9	30.5
13:10	589.1	167.9	30.9
13:20	584.4	177.5	30.6
13:30	598.7	162	31.4
13:40	605.4	165.8	31.1
13:50	571.2	151.3	35.1
14:00	574.5	148.8	33.2
14:10	578.1	143.9	35.4
14:20	556.3	165.6	34.6
14:30	497.4	155.9	31.3
14:40	517.6	159.5	30.8
14:50	514.6	141.1	30.2
15:00	495.3	132.7	29.4
15:10	508.9	137.9	27.6
15:20	435.8	119	27
15:30	428.9	111.7	27.5
15:40	408.6	103.5	31.1
15:50	415.1	91.8	30.6
16:00	404.6	96.9	30.8
	14		

ตารางที่ 4.8 ผลการเก็บค่าพารามิเตอร์ในวันที่ 13 มกราคม 2551

เวลา	ค่าความ เข้มแสง	อุณหภูมิที่ จุดไฟกัส	อุณหภูมิ ณ บริเวณที่ ทำการ เก็บผล การ ทดลอง
นาฬิกา	วัดต่อ ตาราง เมตร	องศา เซลเซียส	องศา เซลเซียส
10:00	375.5	25.6	24.2

เอกสารนี้เป็นเอกสารที่สงวนไว้สำหรับการใช้งานเพื่อการศึกษาเท่านั้น ไม่อนุญาตให้นำไปใช้ประโยชน์ด้านการค้า  
ไม่ว่ากรณีใดๆทั้งสิ้น อีกทั้งห้ามมิให้ดัดแปลงเนื้อหา และต้องอ้างอิงถึงเจ้าของเอกสารทุกครั้งที่มีการนำไปใช้

10:10	353.8	32.8	29
10:20	374.9	46.8	31.6
10:30	350.3	51.3	28.6
10:40	358.9	54.6	29.5
10:50	367.1	57	30.5
11:00	382.9	58.2	27.9
11:10	399.2	61.3	27.8
11:20	395.9	59.9	28.3
11:30	410.5	63.1	31.9
11:40	418.7	69.7	32.8
11:50	442.8	72.9	32.1
12:00	475.9	68.2	33.8
12:10	478	78.9	33.7
12:20	478.9	79.6	33.9
12:30	517.7	102.4	34.4
12:40	543.7	97.7	34.4
12:50	570.1	122.4	31.7
13:00	559.9	140.7	31.5
13:10	594.1	164.7	31.9
13:20	575.4	174.3	31.6
13:30	586.7	159.9	35.4
13:40	595.4	162.6	35.1
13:50	587.2	150.2	35.7
14:00	576.5	147.7	33.8
14:10	580.1	142.8	34.4
14:20	547.3	162.4	33.6
14:30	507.4	153.8	30.7
14:40	527.6	156.3	30.2
14:50	500.6	139	29.6
15:00	474.3	130.6	28.8
15:10	484.9	136.8	28.6
15:20	437.8	116.8	31
15:30	400.9	104.6	31.5
15:40	407.6	95.3	30.1
15:50	375.1	89.7	29.6
16:00	388.6	93.7	29.8

เอกสารนี้เป็นเอกสารที่สงวนไว้สำหรับการใช้งานเพื่อการศึกษาเท่านั้น ไม่อนุญาตให้นำไปใช้ประโยชน์ด้านการค้า  
ไม่ว่ากรณีใดๆทั้งสิ้น อีกทั้งห้ามมิให้ดัดแปลงเนื้อหา และต้องอ้างอิงถึงเจ้าของเอกสารทุกครั้งที่มีการนำไปใช้

ตารางที่ 4.9 ผลการเก็บค่าพารามิเตอร์ในวันที่ 25 มกราคม 2551

เวลา	ค่าความเข้มแสง	อุณหภูมิที่จุดไฟกัส	อุณหภูมิบริเวณบริเวณที่ทำการเก็บผลทดลอง
นาฬิกา	วัตต์ต่อตารางเมตร	องศาเซลเซียส	องศาเซลเซียส
10:00	389.5	28.8	23.2
10:10	348.8	31.4	28
10:20	369.9	50	30.6
10:30	371.3	54.5	27.6
10:40	379.9	57.8	28.5
10:50	388.1	60.2	31.1
11:00	396.9	61.4	28.5
11:10	413.2	64.5	28.4
11:20	416.9	63.1	28.9
11:30	424.5	66.3	32.5
11:40	413.7	72.9	31.8
11:50	437.8	71.5	31.1
12:00	489.9	66.8	32.8
12:10	499	82.1	34.3
12:20	499.9	82.8	34.5
12:30	512.7	105.6	35
12:40	564.7	100.9	35
12:50	591.1	125.6	32.3
13:00	573.9	143.9	30.5
13:10	589.1	167.9	30.9
13:20	589.4	177.5	30.6
13:30	581.7	162	34.4
13:40	616.4	165.8	34.1
13:50	582.2	152.3	34.7
14:00	571.5	149.8	32.8
14:10	575.1	144.9	35

เอกสารนี้เป็นเอกสารที่สงวนลิขสิทธิ์และข้อมูลเป็นข้อมูลภายในของมหาวิทยาลัยเทคโนโลยีพระจอมเกล้าธนบุรี ให้นำไปใช้ประโยชน์ด้านการค้า  
ไม่ว่ากรณีใดๆทั้งสิ้น อีกทั้งห้ามมิให้ดัดแปลงเนื้อหา และต้องอ้างอิงถึงเจ้าของเอกสารทุกครั้งที่มีการนำไปใช้

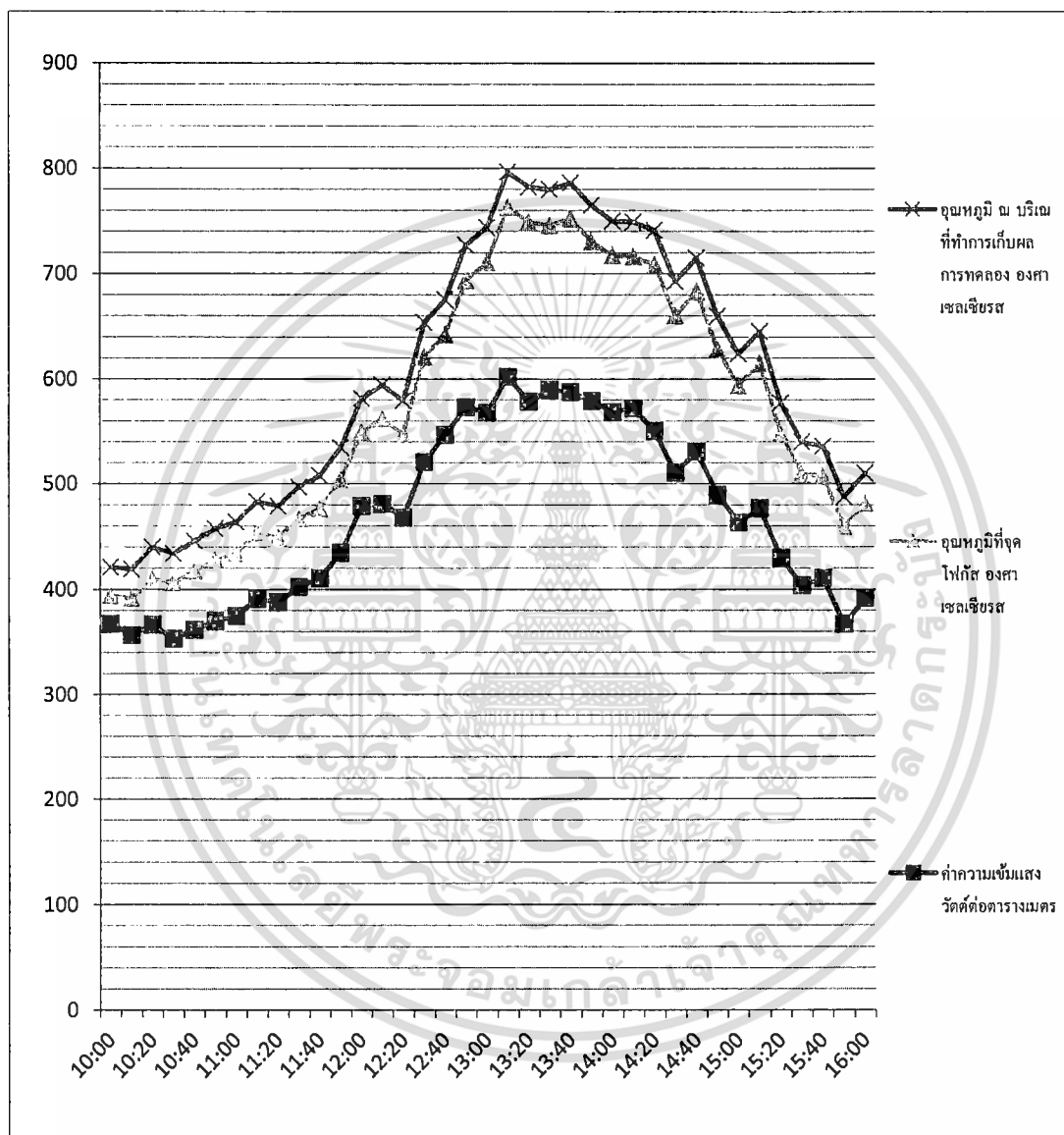
14:20	542.3	165.6	34.2
14:30	502.4	155.9	31.3
14:40	522.6	159.5	30.8
14:50	514.6	141.1	30.2
15:00	495.3	132.7	29.4
15:10	505.9	138.9	27.6
15:20	432.8	120	30
15:30	414.9	106.7	30.5
15:40	421.6	98.5	30.7
15:50	389.1	91.8	30.2
16:00	409.6	96.9	30.4



เอกสารนี้เป็นเอกสารที่สงวนไว้สำหรับการใช้งานเพื่อการศึกษาเท่านั้น ไม่อนุญาตให้นำไปใช้ประโยชน์ด้านการค้า ไม่ว่าจะกรณีใดๆทั้งสิ้น อีกทั้งห้ามมิให้ดัดแปลงเนื้อหา และต้องอ้างอิงถึงเจ้าของเอกสารทุกครั้งที่มีการนำไปใช้

4.2 กราฟค่าพารามิเตอร์ในการศึกษา

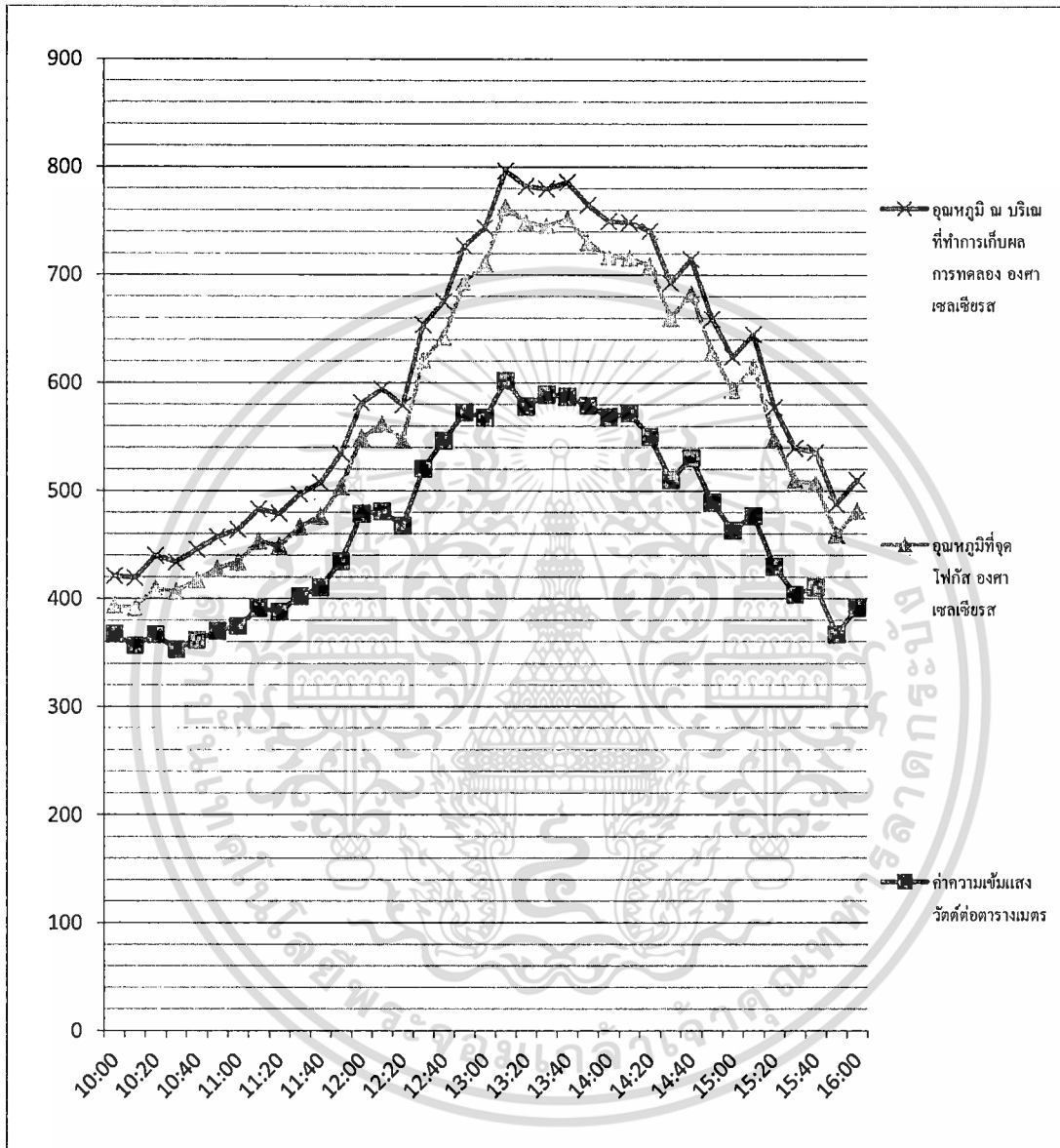
กราฟค่าพารามิเตอร์ในวันที่ 14 พฤศจิกายน 2551



รูปที่ 4.1 กราฟค่าพารามิเตอร์ในวันที่ 14 พฤศจิกายน 2551

เอกสารนี้เป็นเอกสารที่สงวนไว้สำหรับการใช้งานเพื่อการศึกษาเท่านั้น ไม่อนุญาตให้นำไปใช้ประโยชน์ด้านการค้า ไม่ว่าจะกรณีใดๆทั้งสิ้น อีกทั้งห้ามมิให้ดัดแปลงเนื้อหา และต้องอ้างอิงถึงเจ้าของเอกสารทุกครั้งที่มีการนำไปใช้

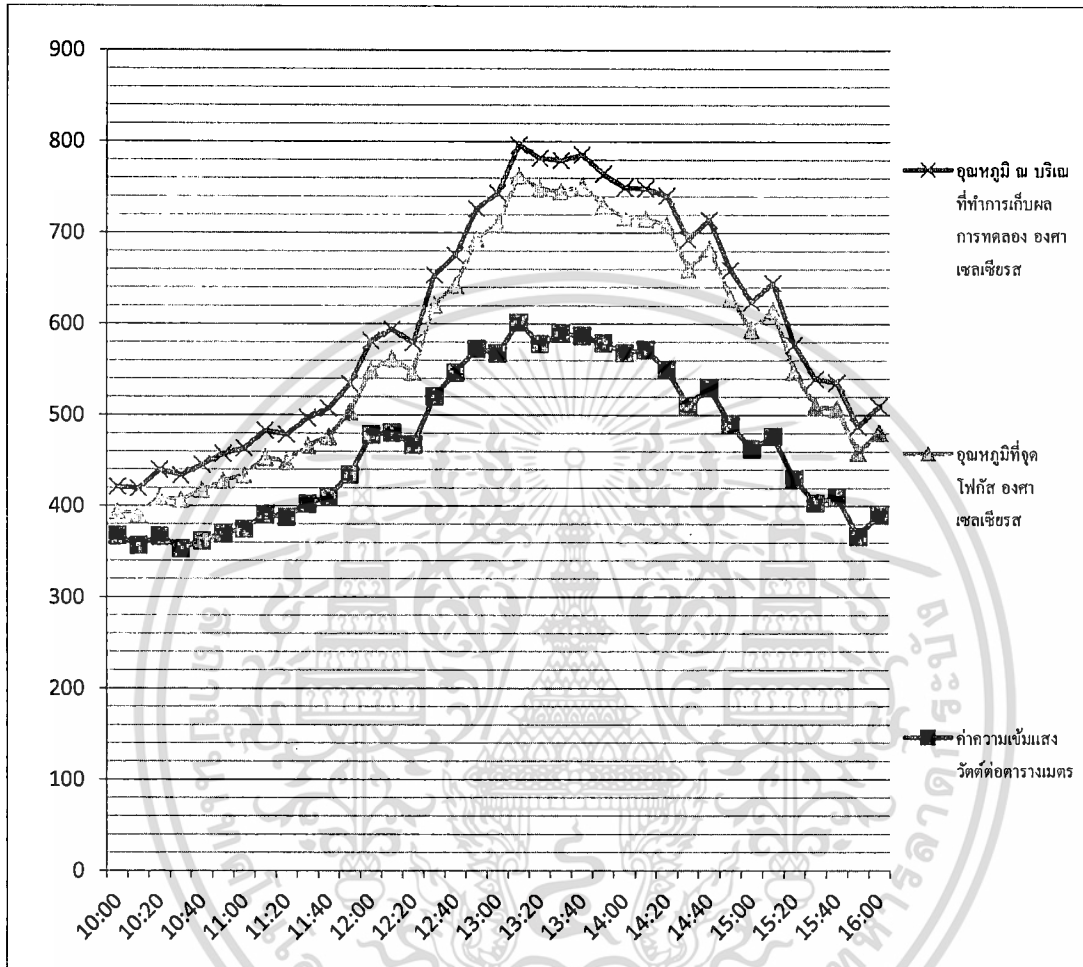
กราฟค่าพารามิเตอร์ในวันที่ 21 พฤศจิกายน 2551



รูปที่ 4.2 กราฟค่าพารามิเตอร์ในวันที่ 21 พฤศจิกายน 2551

เอกสารนี้เป็นเอกสารที่สงวนไว้สำหรับการใช้งานเพื่อการศึกษาเท่านั้น ไม่อนุญาตให้นำไปใช้ประโยชน์ด้านการค้า ไม่ว่าจะกรณีใดๆทั้งสิ้น อีกทั้งห้ามมิให้ดัดแปลงเนื้อหา และต้องอ้างอิงถึงเจ้าของเอกสารทุกครั้งที่มีการนำไปใช้

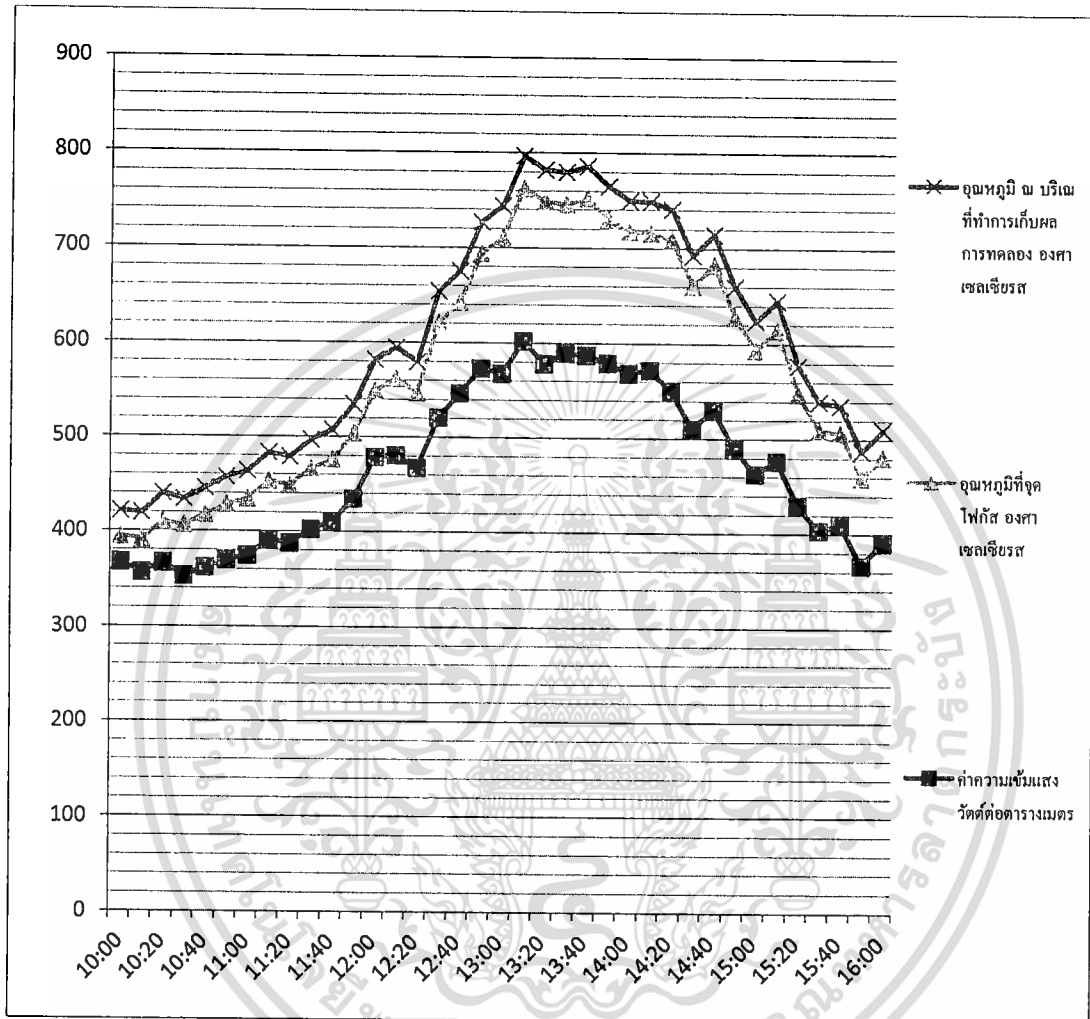
กราฟค่าพารามิเตอร์ในวันที่ 28 พฤศจิกายน 2551



รูปที่ 4.3 กราฟค่าพารามิเตอร์ในวันที่ 28 พฤศจิกายน 2551

เอกสารนี้เป็นเอกสารที่สงวนไว้สำหรับการใช้งานเพื่อการศึกษาเท่านั้น ไม่อนุญาตให้นำไปใช้ประโยชน์ด้านการค้า ไม่ว่าจะกรณีใดๆทั้งสิ้น อีกทั้งห้ามมิให้ตัดแปลงเนื้อหา และต้องอ้างอิงถึงเจ้าของเอกสารทุกครั้งที่มีการนำไปใช้

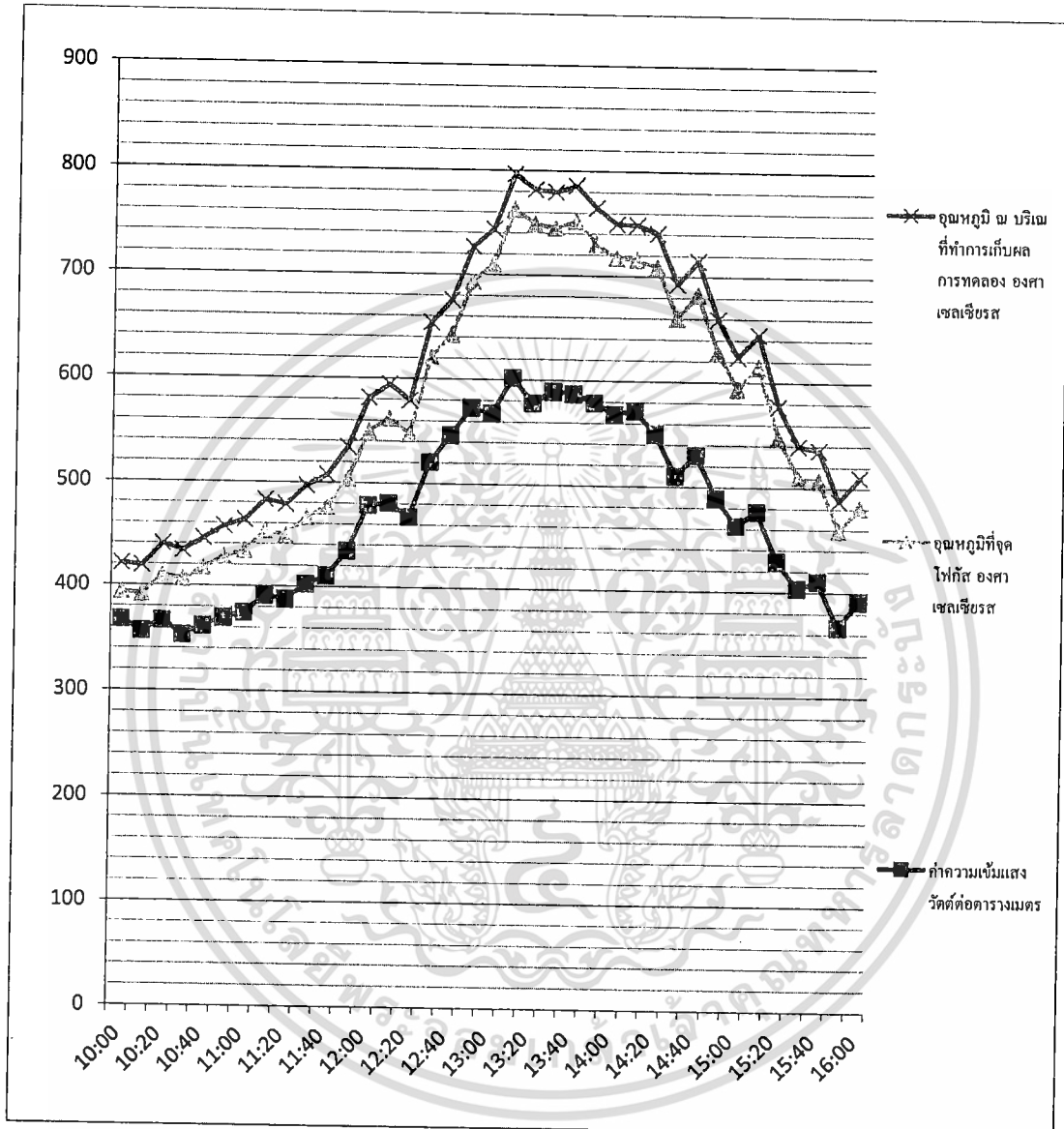
กราฟค่าพารามิเตอร์ในวันที่ 4 ธันวาคม 2551



รูปที่ 4.4 กราฟค่าพารามิเตอร์ในวันที่ 4 ธันวาคม 2551

เอกสารนี้เป็นเอกสารที่สงวนไว้สำหรับการใช้งานเพื่อการศึกษาเท่านั้น ไม่อนุญาตให้นำไปใช้ประโยชน์ด้านการค้า ไม่ว่ากรณีใดๆทั้งสิ้น อีกทั้งห้ามมิให้ดัดแปลงเนื้อหา และต้องอ้างอิงถึงเจ้าของเอกสารทุกครั้งที่มีการนำไปใช้

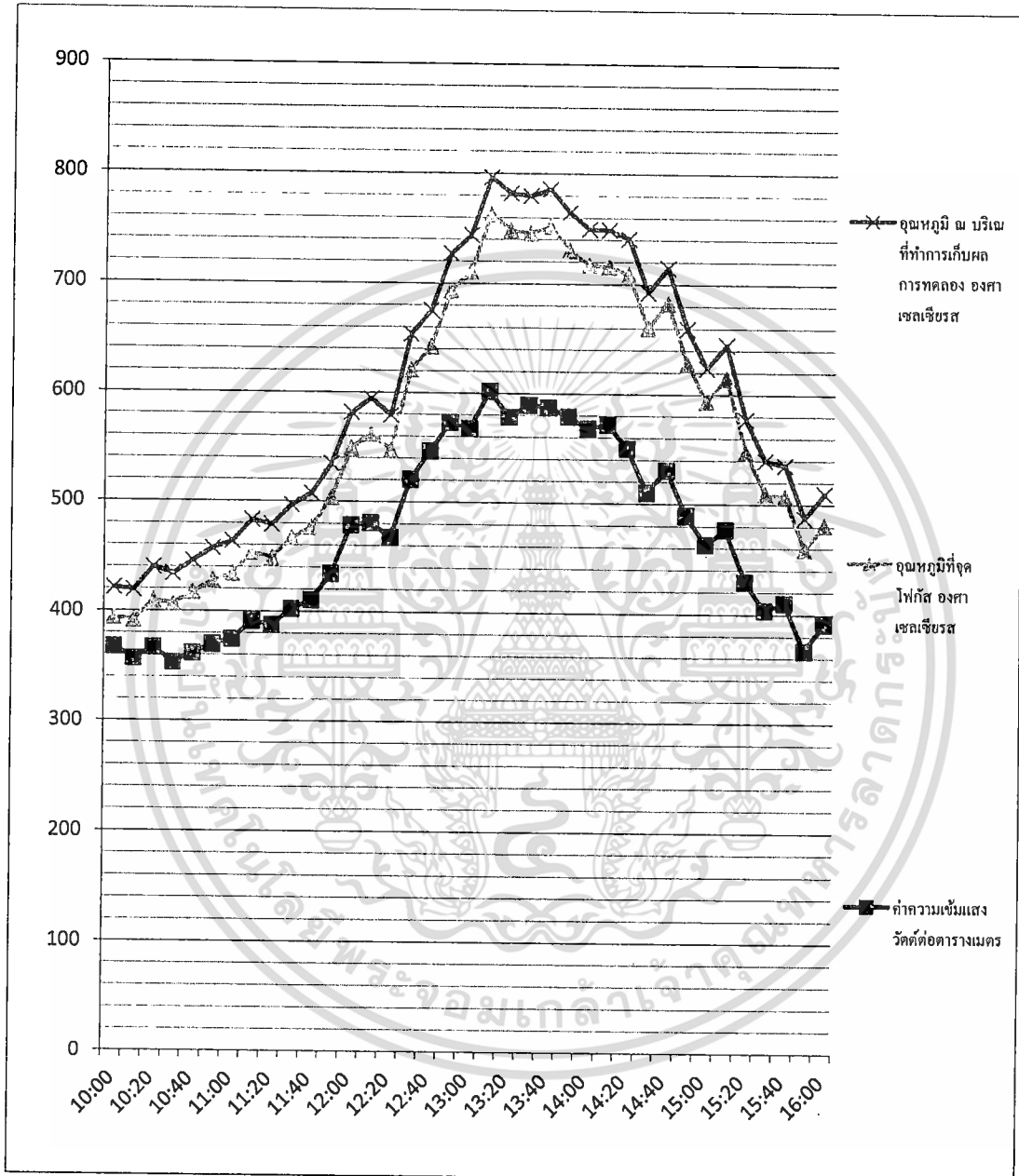
กราฟค่าพารามิเตอร์ในวันที่ 11 ธันวาคม 2551



รูปที่ 4.5 กราฟค่าพารามิเตอร์ในวันที่ 11 ธันวาคม 2551

เอกสารนี้เป็นเอกสารที่สงวนไว้สำหรับการใช้งานเพื่อการศึกษาเท่านั้น ไม่อนุญาตให้นำไปใช้ประโยชน์ด้านการค้า ไม่ว่ากรณีใดๆทั้งสิ้น อีกทั้งห้ามมิให้ดัดแปลงเนื้อหา และต้องอ้างอิงถึงเจ้าของเอกสารทุกครั้งที่มีการนำไปใช้

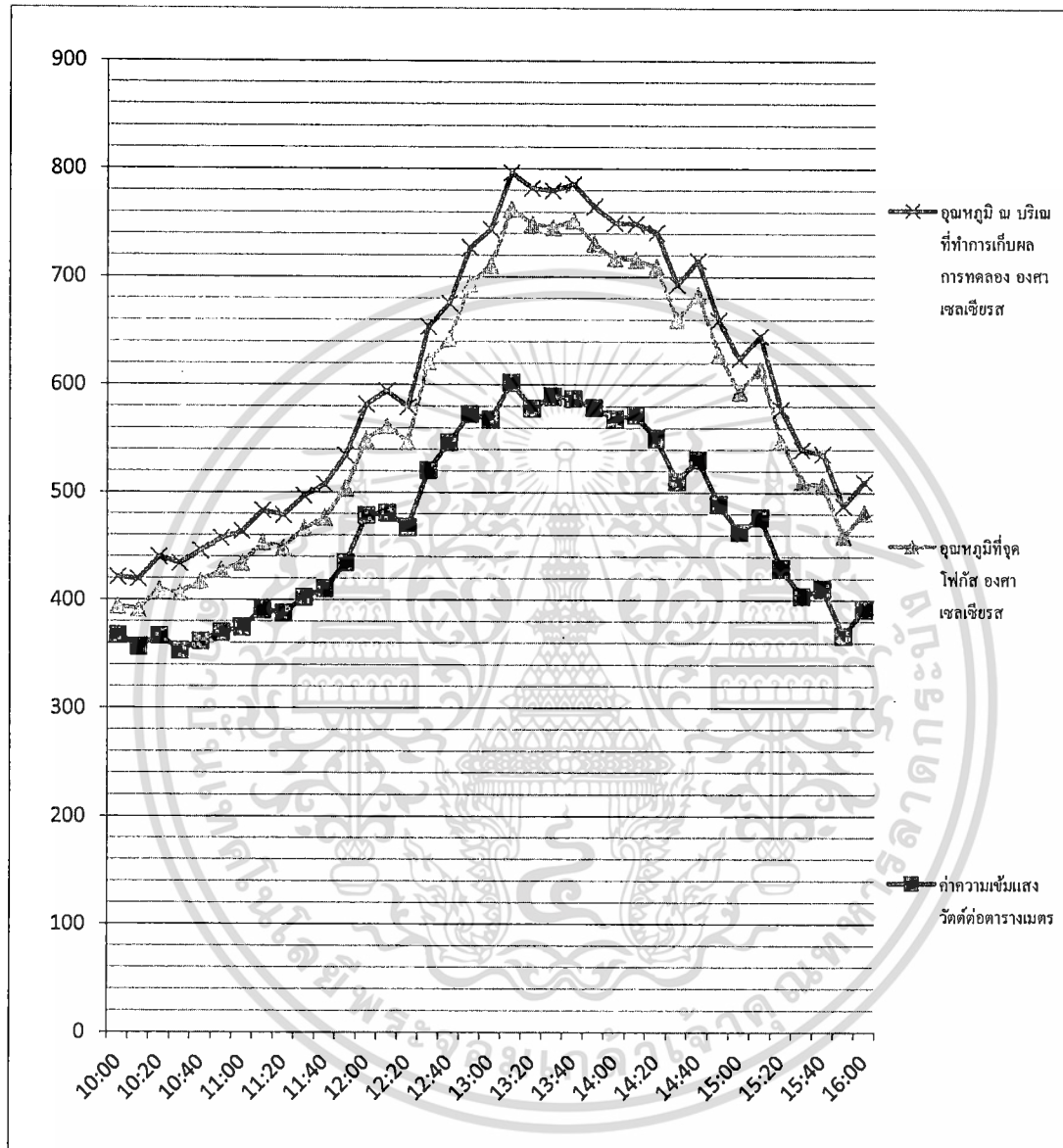
กราฟค่าพารามิเตอร์ในวันที่ 17 ธันวาคม 2551



รูปที่ 4.6 กราฟค่าพารามิเตอร์ในวันที่ 17 ธันวาคม 2551

เอกสารนี้เป็นเอกสารที่สงวนไว้สำหรับการใช้งานเพื่อการศึกษาเท่านั้น ไม่อนุญาตให้นำไปใช้ประโยชน์ด้านการค้า ไม่ว่าจะกรณีใดๆทั้งสิ้น อีกทั้งห้ามมิให้ดัดแปลงเนื้อหา และต้องอ้างอิงถึงเจ้าของเอกสารทุกครั้งที่มีการนำไปใช้

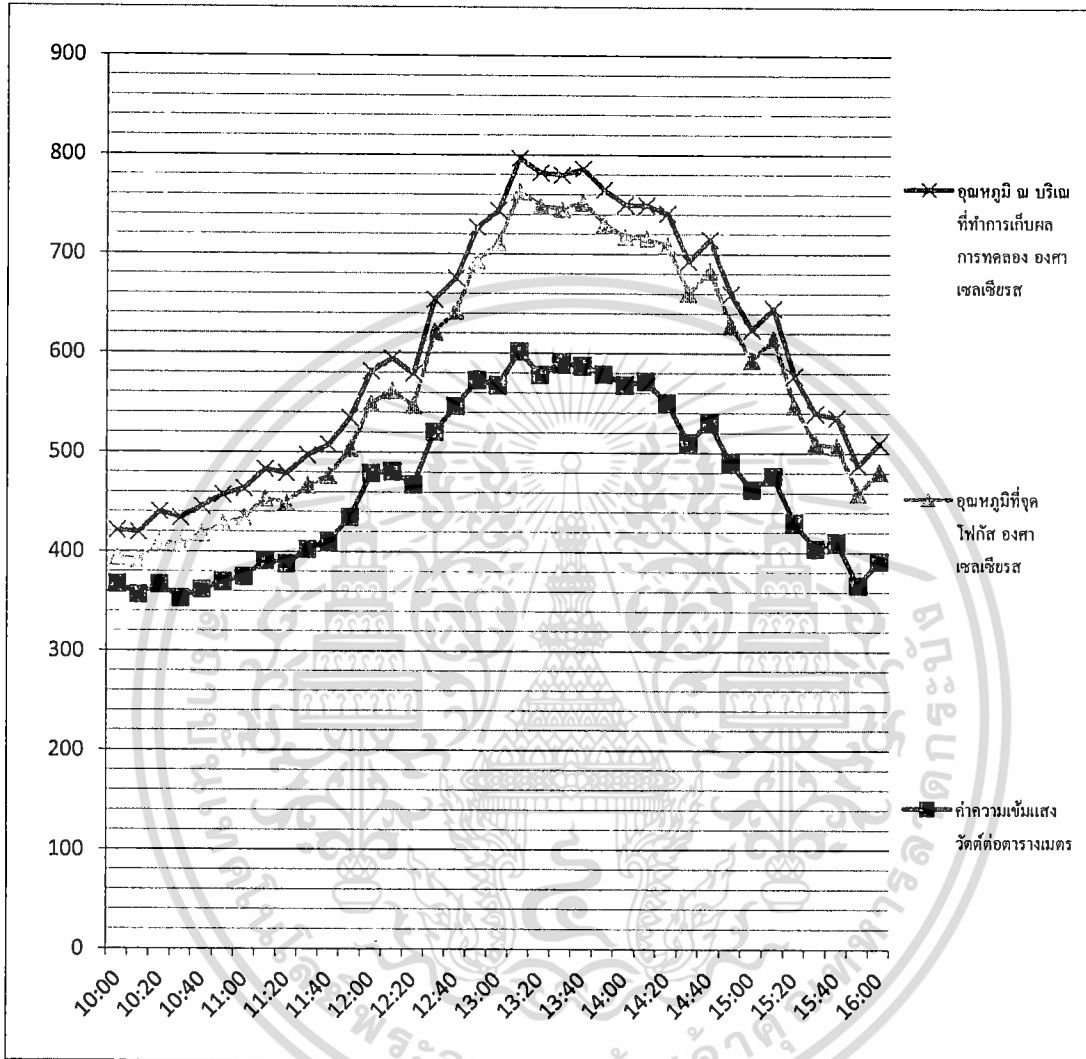
กราฟค่าพารามิเตอร์ในวันที่ 24 ธันวาคม 2551



รูปที่ 4.7 กราฟค่าพารามิเตอร์ในวันที่ 24 ธันวาคม 2551

เอกสารนี้เป็นเอกสารที่สงวนไว้สำหรับการใช้งานเพื่อการศึกษาเท่านั้น ไม่อนุญาตให้นำไปใช้ประโยชน์ด้านการค้า ไม่ว่าจะกรณีใดๆทั้งสิ้น อีกทั้งห้ามมิให้ดัดแปลงเนื้อหา และต้องอ้างอิงถึงเจ้าของเอกสารทุกครั้งที่มีการนำไปใช้

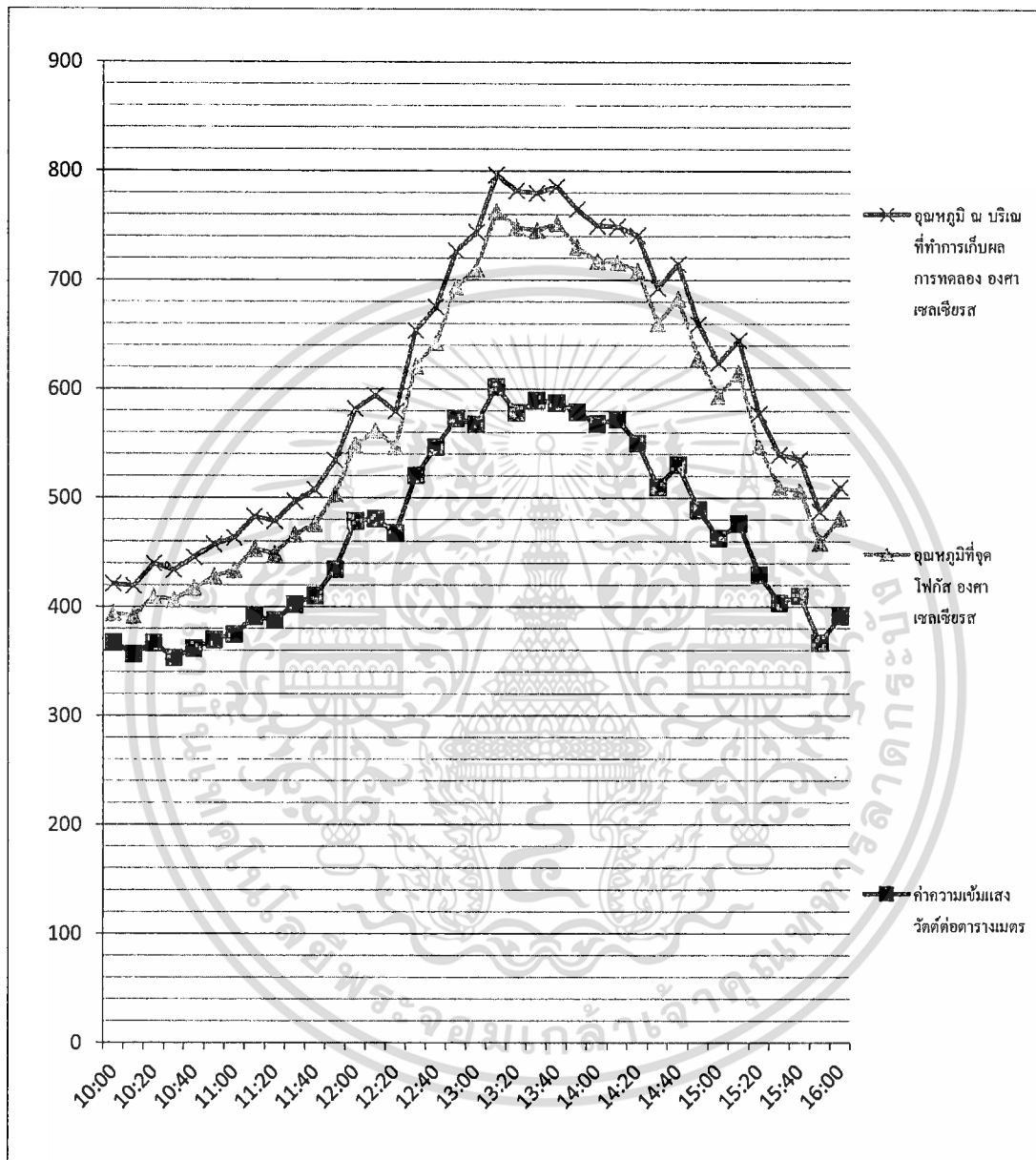
ค่าพารามิเตอร์ในวันที่ 13 มกราคม 2551



รูปที่ 4.8 กราฟค่าพารามิเตอร์ในวันที่ 13 มกราคม 2551

เอกสารนี้เป็นเอกสารที่สงวนไว้สำหรับการใช้งานเพื่อการศึกษาเท่านั้น ไม่อนุญาตให้นำไปใช้ประโยชน์ด้านการค้า ไม่ว่าจะกรณีใดๆทั้งสิ้น อีกทั้งห้ามมิให้ดัดแปลงเนื้อหา และต้องอ้างอิงถึงเจ้าของเอกสารทุกครั้งที่มีการนำไปใช้

ค่าพารามิเตอร์ในวันที่ 25 มกราคม 2551



รูปที่ 4.9 กราฟค่าพารามิเตอร์ในวันที่ 25 มกราคม 2551

เอกสารนี้เป็นเอกสารที่สงวนไว้สำหรับการใช้งานเพื่อการศึกษาเท่านั้น ไม่อนุญาตให้นำไปใช้ประโยชน์ด้านการค้า ไม่ว่าจะกรณีใดๆทั้งสิ้น อีกทั้งห้ามมิให้ดัดแปลงเนื้อหา และต้องอ้างอิงถึงเจ้าของเอกสารทุกครั้งที่มีการนำไปใช้

## บทที่ 5

### สรุปผลวิจัยและข้อเสนอแนะ

จากผลการทดลองเก็บค่าพารามิเตอร์ จะพบอุณหภูมิที่จุดไฟกัสมีสัมพันธ์แบบแปรผันตรงกับความเข้มแสงอาทิตย์ โดยค่าความเข้มแสงจะมีค่าเริ่มเพิ่มขึ้นประมาณ 11 นาฬิกา จนถึงค่าสูงสุดประมาณ 12 นาฬิกา 45 นาที และจะเริ่มมีค่าลดลงที่เวลาประมาณ 14 นาฬิกา ในส่วนของอุณหภูมิที่จุดไฟกัสมิ่บัจจัยของอุณหภูมิของสิ่งแวดล้อมและอุณหภูมิลมมาเกี่ยวข้อง กล่าวคือถ้าหากวันที่ทำการทดลองเก็บค่าพารามิเตอร์มีอุณหภูมิต่ำ หรือมีลมแรงจะทำให้จุดไฟกัสมิ่สูญเสียความร้อนไป ทำให้ค่าอุณหภูมิที่วัดได้จะต่ำกว่าค่าอุณหภูมิปกติ



เอกสารนี้เป็นเอกสารที่สงวนไว้สำหรับการใช้งานเพื่อการศึกษาเท่านั้น ไม่อนุญาตให้นำไปใช้ประโยชน์ด้านการค้า ไม่ว่าจะกรณีใดๆทั้งสิ้น อีกทั้งห้ามมิให้ดัดแปลงเนื้อหา และต้องอ้างอิงถึงเจ้าของเอกสารทุกครั้งที่มีการนำไปใช้

## เอกสารอ้างอิง

1. “Solar energy engineering processes and systems”, Soteris A. Kalogirou, ISBN 978-0-12-374501-9, Elsevier, 2009.
2. “Solar energy Fundamentals, Design, Modeling and Applications”, G.N. Tiwari, ISBN 81-7319-450-5, NAROSA publishing house, 2004.



เอกสารนี้เป็นเอกสารที่สงวนไว้สำหรับการใช้งานเพื่อการศึกษาเท่านั้น ไม่อนุญาตให้นำไปใช้ประโยชน์ด้านการค้า  
ไม่ว่ากรณีใดๆทั้งสิ้น อีกทั้งห้ามมิให้ดัดแปลงเนื้อหา และต้องอ้างอิงถึงเจ้าของเอกสารทุกครั้งที่มีการนำไปใช้